

33. Nereididae de Blainville, 1818

Jesús Angel de León-González¹, Tulio F. Villalobos-Guerrero^{2,3}
& Víctor M. Conde-Vela²

1) Universidad Autónoma de Nuevo León, Facultad de Ciencias Biológicas, México
jesus.deleongn@uanl.edu.mx

2) El Colegio de la Frontera Sur, Unidad Chetumal, México

3) Universidad de Kagoshima, Japón

Introducción

Nereididae de Blainville, 1818 es una de las familias de poliquetos más reconocidas en general, tanto por los textos de zoología y biología marina, como por su importancia ecológica y socioeconómica en los litorales de muchas regiones del mundo. No sorprende entonces que los miembros de la familia reciban una extensa atención en términos científicos —incluso antes de la época linneana— y sociales por la relevancia de muchas especies en la industria acuícola, pesquera, e incluso culinaria.

Los neréididos son una de las familias más ampliamente distribuidas en todo el mundo, desde los trópicos hasta los océanos Ártico y Antártico. Habitan prácticamente en todos los sustratos marinos, siendo comunes desde la zona supralitoral —que comprende la región bañada por la llovizna marina— hasta la zona abisal en donde se han encontrado a más de 5000 m de profundidad. Asimismo, pueden encontrarse en cavernas, cenotes, arroyos de agua dulce, e incluso en hábitats casi terrestres viviendo en selvas tropicales entre la hojarasca a una distancia considerable del mar. México posee el record de altitud para una especie de neréidido, *Lycastoides alticola* Johnson, 1903 (ahora en *Namanereis Chamberlin, 1919 sensu Alves et al. 2018*), la cual fue descrita para las subcuencas de sierra de la Laguna en Baja California Sur a 2000 m sobre el nivel del mar; lamentablemente, la pérdida de manantiales en esta zona ha impedido registrar a la especie desde entonces.

El tamaño de los neréididos es muy variable, aunque la mayoría presentan tallas

medianas y largas. Los adultos de *Micronereis Claparède, 1863* miden de 2 a 10 milímetros y presentan un número reducido de segmentos; mientras que especies de otros géneros, tales como *Alitta plenidentata* (Moore, 1909) o *Paraleonnates uschakovi* Khlebovich & Wu, 1962, alcanzan un par de metros de longitud y más de 700 segmentos. Por otra parte, Nereididae contiene a las especies de poliquetos más longevas, como *A. virens* (Sars, 1837) que puede vivir 8 años o más (Olive *et al.* 1997).

Los hábitos y estrategias de alimentación de los neréididos son muy diversos, y no pueden ser definidos por el tipo de estructuras faríngeas o alguna otra característica del cuerpo. Algunos consumen el alimento directamente del sedimento, otros raptan microinvertebrados, carroña, macroalgas, pastos marinos o fibras de madera (triturándolos o no en fragmentos pequeños), e incluso unas pocas consumen materia en suspensión; sin embargo, también es común que una misma especie presente dos o más estrategias de alimentación. Existen, además, especies simbiotes de cangrejos ermitaños que consumen la hueva del hospedero, o es frecuente que algunas especies sean muy agresivas, territoriales e incluso caníbales con individuos de su misma especie. Los neréididos, por lo tanto, son funcionalmente omnívoros al mostrar plasticidad dietética y conductual (Jumars *et al.* 2015).

Casi todas las especies de Nereididae poseen sexos separados. El hermafroditismo sólo se conoce para un reducido número de especies estuarinas o dulceacuícolas, las cuales no cambian al estado típico de reproducción llamado *epitoquia*. La epitoquia consiste en cambios morfológicos y

estructurales de casi todo el cuerpo asociados a la reproducción sexual (Clark 1961). Esta incluye generalmente la hipertrofia de los ojos, la expansión y aplanamiento de las estructuras parapodiales, la transformación de las setas en estructuras con forma de remo para facilitar la movilidad, la aparición de papilas especializadas, así como cambios internos como la deformación del tubo digestivo y músculos.

En el mundo se conocen 47 géneros y aproximadamente 690 especies válidas; no obstante, estos números podrían cambiar considerablemente puesto que los géneros con más especies, tales como *Nereis* Linnaeus, 1758, *Perinereis* Kinberg, 1865 y *Neanthes* Kinberg, 1865, carecen de revisiones, han sido considerados como no monofiléticos (Bakken & Wilson 2005), y además presentan una lista extensa de sinónimos. En las costas de América tropical, de León-González (2009) citó 25 géneros y 104 especies; sin embargo, después de realizar una actualización de la lista, así como la evaluación del estatus taxonómico y registros de las especies en dicha región, 24 géneros y 103 especies son aquí reconocidas. Otras 40 especies son consideradas con registros cuestionables en América tropical; muchas de ellas fueron descritas originalmente para las costas templadas de EUA y Europa.

Sistemática

Hasta hace algunos años, el nombre Nereididae era atribuido a tres autores: 1) Lamarck, 1818 (Khlebovich 1996, Bakken & Wilson 2005), 2) Savigny, 1822 (Núñez 2004), y 3) Johnston, 1865 (Hartman 1959a, Wu *et al.* 1985); sin embargo, todos son incorrectos. Aunque Savigny *in* Lamarck (1818) utilizó por primera ocasión el nombre "Nereides" (sin latinizar) a nivel familia (ICZN 1999, art. 11.7.2), el nombre genérico *Nereis* que dio la raíz del nombre no fue usado como válido (ICZN 1999, art. 11.7.1.1). de Blainville (1818), por el contrario, usó el nombre de familia "Nereidae", y consideró válido a *Nereis* en su trabajo. Pettibone (1971) fue la primera en enmendar el sufijo del nombre original para derivar Nereididae. Por tal motivo, Nereididae de Blainville, 1818 es la cita nomenclatural correcta de la familia.

Nereis pelagica Linnaeus, 1758 y *Nereis caerulea* Linnaeus, 1758 fueron las primeras

especies atribuibles a la familia Nereididae. *Nereis pelagica* fue designada como especie tipo de *Nereis* (Hartman 1948), género tipo de la familia (Hartman 1959a). Durante la segunda mitad del siglo XVIII y casi todo el siglo XIX, se incluyó en *Nereis* a una gran variedad de formas de poliquetos que incluyen néftidos, sílidos, filodócidos y eunícidos descritos por autores tales como Otto F. Müller, Otto Fabricius, Peter S. Pallas y Stefano delle Chiaje. Actualmente, el género es el más rico en especies (~220 válidas), pero sin duda, el más problemático en términos taxonómicos por su amplia heterogeneidad morfológica y por carecer de una revisión.

Con respecto a las subfamilias, Corrêa (1948) estableció a Lycastinae para incluir a *Lycastis* Savigny, 1822 y tres géneros adicionales; el resto de los géneros serían miembros de Nereidinae de Blainville, 1818. Hartman (1959b) establece la subfamilia Namanereidinae, sinonimizando a Lycastinae. Posteriormente, Banse (1977a, b) establece dos familias más: Notophycinae y Gymnonereidinae. Una década después, Fitzhugh (1987) analiza filogenéticamente las cuatro subfamilias y las reduce sólo a tres, Gymnonereidinae, Namanereidinae y Nereidinae, incluyendo Notophycinae en Nereidinae. Glasby (1991) confirma la monofilia de Namanereidinae y Nereidinae, pero menciona que Gymnonereidinae podría ser parafilético. Glasby (1999) volvió a demostrar que Namanereidinae es monofilético con *Namalycastis* Hartman, 1959b y *Namanereis*. Bakken & Wilson (2005) realizan un análisis filogenético de los neréididos con paragnatos (Nereidinae *sensu* Fitzhugh 1987), cuestionando su monofilia por el bajo soporte de los clados debido a la alta cantidad de homoplasias encontradas. Santos *et al.* (2005) reevaluaron las relaciones evolutivas dentro de Nereididae, corroborando la monofilia de Namanereidinae y re-estableciéndola para Gymnonereidinae *sensu* Banse, 1977 al excluir varios géneros propuestos ahí anteriormente; sin embargo, quedaron muchos grupos sin nombrar o aún sin resolver. Alves & Santos (2016) sugirieron que las relaciones dentro Namanereidinae aún no están resueltas; sin embargo, Alves *et al.* (2018) reconfirmaron la monofilia de *Namalycastis* y *Namanereis*. Se ha demostrado que Nereididae es un grupo natural dentro de los filodocemorfos (Dahlgren *et al.* 2000). En cuanto a estudios moleculares, Liu *et al.* (2012) realizaron un análisis filogenético de 18 especies de neréididos de

diferentes géneros utilizando el gen mitocondrial COI, y recientemente Alves *et al.* (2020) realizaron un trabajo similar pero con genomas mitocondriales y transcriptomas, concluyendo que se requiere una reevaluación de los caracteres morfológicos debido a los altos niveles de homoplasia.

Entre las subfamilias, sólo Namanereidinae presenta una revisión morfológica (Glasby 1999), mientras que Gymnonereidinae fue parcialmente abordada (Banse 1977b). Únicamente algunos géneros pequeños o grupos de especies de neréididos han sido revisados. Pettibone (1971) revisó *Stenoninereis* Wesenberg-Lund, 1958, algunas especies de *Leptonereis* Kinberg, 1865, *Nicon* Kinberg, 1865, *Laeonereis* Hartman, 1945 y *Tylorrhynchus* Grube, 1866, y propuso a *Rullierinereis*, *Kinberginereis* y *Websterinereis* como géneros nuevos. Hartmann-Schröder (1977) realizó la revisión de *Ceratocephale* Malmgren, 1867 y propuso dos géneros nuevos: *Olganereis* y *Profundilycastis*. Perkins (1980) revisó las especies similares a *Ceratonereis mirabilis*. Hartmann-Schröder (1985) re-evaluó el estatus taxonómico de *Ceratonereis*, dividiendo el género en tres subgéneros: *Ceratonereis* (*Ceratonereis*), *C.* (*Compositia*) y *C.* (*Simplisetia*); los cuales, fueron elevados más tarde a nivel de género (Khlebovich 1996, Bakken y Wilson 2005). Paxton (1983) estudió la taxonomía de *Micronereis*, y Wilson & Glasby (1993) aquella sobre el complejo '*Perinereis nuntia*'. Sato & Nakashima (2003) estudiaron con detalle el complejo '*Hediste japonica*'. Bakken (2006) realizó la revisión de *Pseudonereis* Kinberg, 1865. Sato (2013) revisó las especies de *Nectoneanthes* Imajima, 1972. Villalobos-Guerrero *et al.* (2015, 2018) estudiaron a *Alitta* Kinberg, 1865. Conde-Vela *et al.* (2018) restablecieron a *Kainonereis* Chamberlin, 1919. Recientemente, Conde-Vela & Wu (2019) revisaron a *Sinonereis* Wu & Sun, 1979; mientras que Conde-Vela (2019a, b) revisó a *Stenoninereis*, y redefinió a *Lycastonereis* Rao, 1981 sinonimizándolo a *Ganganereis* Misra, 1999 con *Paraleonnates* Khlebovich & Wu, 1962.

Por otra parte, muchos estudios regionales de Nereididae se han llevado a cabo en todo el mundo, ya sean delimitados a la familia o incluyendo a otras. A continuación, son mencionados algunos de los principales en orden cronológico. Fauvel (1923, 1953) estudió a los neréididos de las costas de Francia, Atlántico y

Mediterráneo (25 especies), así como aquellos de la India (55 especies). Horst (1924) registró 44 especies de neréididos (20 de ellas nuevas) recolectados en la expedición *Siboga* en la península de Malasia e Indonesia. Hartman (1954) registró 47 especies (4 nuevas) para Australia incluyendo un nuevo género; mientras que cinco años más tarde publica un estudio sobre capitélidos y neréididos de Florida, haciendo un análisis de los neréididos dulceacuícolas del mundo (Hartman 1959b). Day (1967) menciona una gran cantidad de especies para Sudáfrica, incluyendo un género nuevo (*Unanereis*) y cuatro especies nuevas. Imajima (1972) registró 41 especies para las costas de Japón, entre ellas, cinco especies y una subespecie fueron nuevas. Rozbaczylo & Castilla (1973) efectuaron un estudio de los *Perinereis* Kinberg, 1865 de las costas chilenas describiendo una nueva especie; posteriormente, Rozbaczylo & Bolados (1980) realizaron una sinopsis taxonómica de los neréididos de Iquique, Chile. Wu *et al.* (1985) realizaron una obra monográfica sobre los neréididos de China en donde encontraron 81 especies, 11 de ellas nuevas. Hylleberg *et al.* (1986) estudiaron las especies de *Perinereis* y *Pseudonereis* de aguas tailandesas. Hylleberg & Nateewathana (1988) estudiaron a *Ceratocephale* y *Gymnonereis* Horst, 1919 de Tailandia. Hutchings & Reid (1990) realizaron un estudio de los Gymnonereidinae de Australia. Hutchings *et al.* (1991) revisaron las especies de *Perinereis* para Australia. Chambers & Garwood (1992) estudiaron a los neréididos de los mares escoceses. Khlebovich (1996) realizó una monografía de estos gusanos para los mares rusos y aguas adyacentes, ahí registró 24 géneros (uno nuevo) y 62 especies (6 nuevas, incluyendo dos subespecies).

En México, el estudio de los neréididos ha sido disperso pero notable, varios autores clásicos trabajaron materiales de las costas mexicanas. Gravier (1901) registró y describió por primera ocasión un neréidido en México: *Heteronereis* sp. (= *Platynereis polyscalma*, *sensu* Chamberlin 1919) en la bahía de Loreto, Baja California Sur. Otros estudios incluyen a Johnson (1903), Treadwell (1914, 1923, 1929, 1937, 1942) con 5 especies, Hartman (1939, 1940, 1952, 1963) con 13 especies. Por otro lado, Enrique Rioja describe 29 especies de neréididos en sus trabajos para ambos litorales mexicanos (1941, 1946a, 1946b, 1947a, 1947b, 1958, 1960, 1963). Berkeley & Berkeley (1958, 1960) mencionan 8 especies para el Pacífico mexicano. Fauchald (1972)

registró 9 especies para aguas profundas del Pacífico mexicano, 5 de ellas nuevas. Posteriormente, Kudenov (1973, 1975, 1979, 1980) citó 12 especies para el Golfo de California.

A finales de los ochentas surgió una generación de poliquetólogos mexicanos. Varios de ellos se enfocaron en el estudio de los neréididos en el país; como consecuencia, un sinnúmero de especies nuevas e incluso géneros empezaron a ser descritos, o también estudios regionales fueron llevados a cabo (e. g., Solís-Weiss & Espinasa 1991, Bastida-Zavala 1991, de León González & Góngora-Garza 1992, Salazar-Vallejo & Jiménez-Cueto 1996). Sin embargo, de León-González (1997) realizó el primer esfuerzo que sintetizó el conocimiento de la familia en las costas mexicanas; 20 géneros y 84 especies fueron encontrados, varios de estos resultaron nuevos para la ciencia, por lo menos un género (*Imajimainereis* de León-González & Solís-Weiss, 2000) y 13 especies han sido ya formalmente descritos (e. g., de León-González & Solís-Weiss 1997, 1998, 2000, 2001, de León-González & Díaz-Castañeda 1998, de León-González *et al.* 1999, 2001).

Los esfuerzos en el estudio de los neréididos han continuado desde entonces, con un repunte vigoroso en la segunda década del siglo XXI. González-Escalante & Salazar-Vallejo (2003) describieron una especie de *Nereis* del Caribe mexicano. Villalobos-Guerrero & Tovar-Hernández (2013, 2014) estudiaron a los neréididos esclerobiontes y describieron una nueva especie de *Pseudonereis* del golfo de California. Conde-Vela (2013) describió una nueva especie de *Namalycastis* para Quintana Roo. Conde-Vela & Salazar-Vallejo (2015) y Ramírez-Hernández *et al.* (2015) describieron una nueva especie de *Nereis* para los golfos de California y de México, respectivamente. Villalobos-Guerrero & Carrera-Parra (2015) y Villalobos-Guerrero & Bakken (2018) restablecieron dos especies de *Alitta* distribuidas en el Pacífico mexicano al delimitar la morfología de *A. succinea* (Leuckart, 1847) y *A. brandti* Malmgren, 1865, respectivamente. de Jesús-Flores *et al.* (2016) estudiaron la morfología de dos especies de *Laeonereis*. de León-González *et al.* (2016, 2018) describieron una nueva especie de *Websterinereis* y *Laeonereis* para el golfo de California. Recientemente, Conde-Vela (2018) describió dos especies nuevas de *Pseudonereis* para el Atlántico mexicano y delimitó la morfología de *P.*

gallapagensis Kinberg, 1865 y *P. variegata* Grube & Kröyer in Grube, 1858. Asimismo, Conde-Vela *et al.* (2018) describieron una especie de *Kainonereis* para el golfo de California.

Morfología

El cuerpo de los neréididos presenta tres grandes regiones: 1) una región cefálica, 2) un metastomio constituido por muchos segmentos similares, y 3) una región caudal provista del pigidio, portador del ano terminal o terminal-dorsal.

1) Región cefálica. Localizada en la parte anterior del cuerpo. Es portadora de tres estructuras importantes: el prostomio, inmediatamente detrás se encuentra el peristomio o anillo aqueto, y la faringe.

Prostomio: Puede tener forma ovalada, trapezoidal o poligonal, y usualmente sostiene un par de antenas, de palpos y de órganos nucleales, así como dos pares de ojos. Las antenas están ubicadas en el margen anterior del prostomio; generalmente son dos, aunque *Unanereis* presenta una sola antena (característica que sugiere ser una anomalía), *Micronereis* y *Namanereis malaitae* (Gibbs, 1971) no las presentan, y están fusionadas en un pedúnculo distalmente bifurcado en *Kainonereis alata* Chamberlin, 1919. La sección del prostomio entre las antenas puede ser entera, o presentar una hendidura somera o pronunciada que en ocasiones da una apariencia bifurcada. Los palpos tienen una función táctil sensorial y son biarticulados, con palpóforos globosos o cilíndricos, y palpostilos redondos o cónicos. Los ojos normalmente son cuatro, mientras que algunas especies que viven en ambientes con poca o nula luminosidad (mar profundo o ambientes cavernícolas) tienen, dos como en *Neanthes bioculata* Hartmann-Schröder, 1975, o carecen de ojos como *Typhlonereis gracilis* Hansen, 1879; pueden ser redondos, ovales o reniformes, en ocasiones poseen lentes; los ojos pueden ser negros, aunque algunas veces son rojos tanto en vida como en especímenes preservados.

Peristomio o anillo aqueto: Está ubicado inmediatamente detrás del prostomio; a este segmento también se le llama collar o anillo aqueto, y puede estar ventralmente expandido como en *Cheilonereis* Benham, 1916. Es portador de los cirros tentaculares o cirros anteriores, los cuales están

ubicados lateralmente. Anteriormente se sabía que el peristomio tenía un origen presegmental, es decir, que dichos segmentos no provenían del metastomio sino de una zona entre éste y el prostomio; no obstante, diversos estudios realizados con técnicas de inmunofluorescencia han demostrado que esta zona deriva de los primeros dos segmentos del metastomio (*e. g.*, Ackermann *et al.* 2005, Fischer *et al.* 2010). Generalmente presenta cuatro pares de cirros tentaculares: dos pares dorsales (uno anterior, otro posterior) y dos ventrales (uno anterior, otro posterior); aunque algunos géneros como *Lycastonereis* y algunas especies de *Namanereis* poseen sólo tres pares, perdiendo el par posteroventral (Glasby 1999, Conde-Vela 2017). Los cirros tentaculares pueden ser lisos como en la mayoría de las especies, o bien, son articulados como en *Kainonereis*. Asimismo, los cirros tentaculares dorsales siempre son de mayor tamaño y su extensión, medida en número de setígeros alcanzados cuando son abatidos hacia atrás, es utilizada como una característica diagnóstica.

Faringe: La abertura oral está situada ventralmente al prostomio. La faringe está formada por musculatura de la cavidad bucal, y su arquitectura externa y regionalización han sido de gran utilidad para diferenciar géneros y especies. Una faringe evertida normalmente presenta dos anillos bien formados: uno oral que está próximo a la boca, y otro maxilar que posee un par de mandíbulas distales. Estas últimas pueden ser negras, pardas o ámbar, tener un margen interno liso o dentado (Figs. 1G–H), y curvo, aplanado o helicoidal; internamente presentan una cavidad pulpar de la que emergen dos o más canales. Las superficies dorsales y ventrales de los anillos faríngeos pueden ser lisas como en *Kainonereis*, *Leptonereis*, *Namalycastis*, *Namanereis* y *Nicon*, aunque la mayoría presentan proyecciones suaves denominadas *papilas*, o duras denominadas *paragnatos*. La distribución, número y forma de estas estructuras son características diagnósticas a nivel específico y genérico. Los paragnatos pueden ser cónicos y barras transversas rectangulares, ya sea en forma de escudo o de media luna (Bakken *et al.* 2009; Conde-Vela 2018); mientras que las papilas pueden ser redondas o filiformes. En caso de que la faringe no esté expuesta, es necesario realizar un corte anteroventral del espécimen para exponer la parte interna de la faringe y apreciar su morfología.

Para describir la distribución de estos elementos en la faringe, cada anillo está subdividido por áreas pares o impares (Figs. 1G–H). Estas se nombran de la siguiente forma utilizando la numeración romana:

Anillo maxilar:

- Área I, ubicada en la parte medio dorsal.
- Área II, en par, ubicada latero dorsal.
- Área III, ubicada en la parte medio ventral.
- Área IV, en par, ubicada latero ventral.

Anillo oral:

- Área V, ubicada en la parte medio dorsal.
- Área VI, en par, ubicada latero dorsal.
- Área VII, ubicada en la parte medio ventral.
- Área VIII, en par, ubicada latero ventral.

Tanto las papilas como los paragnatos pueden estar distribuidos en grupos o ser solitarios. Esto ocurre normalmente en las áreas I–VI, aunque en las áreas VII y VIII (Figs. 1H–I) se disponen en hileras transversales que abarcan las dos áreas. Tradicionalmente, la distribución de las estructuras de las áreas VII y VIII eran descritas considerando el número de hileras y el tipo de elementos presentes en ellas; sin embargo, esta forma de describirlas era imprecisa. Una misma agrupación podía ser interpretada de varias maneras (*e. g.*, una o dos hileras) y la distribución de los elementos no era descrita de manera apropiada. Recientemente, las áreas VII–VIII fueron subdivididas en secciones para resolver la problemática; aquellas denominadas *crestas* corresponden a las secciones abultadas de los cojinetes, mientras que los *valles* son las secciones hendidas lineales entre cada cojinete (Fig. 1I) (Conde-Vela 2018). Las crestas son referenciadas con letras mayúsculas (*A, B, C, ...*) y los valles con minúsculas (*a, b, c, ...*); si se ubican del lado izquierdo se indican con el subíndice *l* (por ejemplo, *B_l* o *b_l*) y si están en el derecho se coloca el subíndice *r* (por ejemplo, *C_r* o *c_r*). Como las hileras tienden a fusionarse cuando alcanzan regiones laterales de la faringe, sólo se considera el arreglo de las regiones comprendidas entre los valles tipo *c* (o región medioventral) para determinar el número de hileras. Por otra parte, las crestas de las áreas dorsales del anillo oral también forman patrones morfológicos al fusionarse o separarse, llamados patrón de cresta de las áreas VI–V–VI y designados con letras griegas; cuando ambas crestas del área VI se fusionan medio-distalmente

moldean un surco con aspecto de Y invertida en el área V denominado lambda (λ) (Fig. 1G, 2C), mientras que al estar ambas crestas del área VI bien separadas una con respecto a la otra forman un cojinete medio en el área V con forma rectangular o de reloj de arena denominado pi (π) (Fig. 2J, 8D) (Villalobos-Guerrero 2019).

2) Metastomio. Consiste en un número variable de segmentos casi idénticos. Se sitúa detrás de la región cefálica y delante del pigidio. Cada segmento posee un par de parapodios que portan proyecciones carnosas denominadas *cirros*, *lígulas* y *lóbulos*, además que las setas están organizadas en fascículos notopodiales y neuropodiales.

Parapodios: Son proyecciones laterales de la pared del cuerpo, aplanadas y carnosas, que poseen una función principalmente locomotora. Típicamente, los parapodios cuentan con un notopodio y neuropodio bien delimitado, cada uno soportado por una seta interna, o *acícula*; esta configuración se denomina *birrámea* (Figs. 1B, D). Cuando hay elementos notopodiales pero no notoacículas, como ocurre en los primeros dos setíferos de muchos géneros (Figs. 1A, C), o que no hay lígulas pero la notoacícula está embebida en la rama neuropodial, como ocurre en *Namanereis* y *Namalycastis* (Fig. 1E), a estos se les denomina *sub-birrámeos*. Si la rama notopodial está completamente ausente, como en los primeros dos setíferos de las especies de *Micronereis*, se les denomina *unirrámeos* (Fig. 1F). Debido a que describir con precisión la morfología de los parapodios es importante al estudiar los neréidos, se han propuesto varias terminologías. Entre las más usadas se encuentran las de Hylleberg & Nateewhatana (1988) y Bakken y Wilson (2005), aunque aquí se sigue la propuesta de Villalobos-Guerrero & Bakken (2018) que es una modificación de ambas. Estas propuestas, además, resaltan la importancia de la posición de estos elementos en el parapodio, la cual puede notarse cuando éste es visto desde enfrente.

Un notopodio típico de un parapodio birrámico (Fig. 1B) está formado por una estructura generalmente prolongada y delgada denominada *cirro dorsal*, el cual se encuentra inserto basal, medial o distalmente sobre una estructura de tamaño y forma variable denominada *lígula dorsal*; asimismo, presenta una *lígula media* donde se encuentra embebida la notoacícula. Algunas veces,

la lígula dorsal puede presentar un lóbulo superior muy proyectado, resultando en una estructura cordiforme, como en *Cheilonereis* y *Nectoneanthes*; mientras que un elemento intermedio entre las lígulas dorsal y media también puede aparecer enfrente de los fascículos setales, denominado *lóbulo presetal*. El neuropodio posee una *lígula neuroacicular* que porta la neuroacícula; además puede tener una o dos proyecciones distales presetales denominadas *lóbulos superior e inferior*, una proyección posterior a los fascículos setales o *lóbulo postsetal*, una *lígula ventral* y un *cirro ventral*.

Algunas variantes de este arreglo general se dan cuando el notopodio sólo cuenta con el cirro dorsal y hay dos cirros ventrales como en *Ceratocephale* y *Gymnonereis* (Fig. 1B), o si las lígulas dorsales y ventrales están ausentes, como en *Tylorrhynchus*. Algunos géneros presentan características únicas, como *Australonereis* Hartman, 1954, que presenta una hilera de papilas en la región ventral de los setíferos anteriores, *Dendronereis* Peters, 1854, que presenta cirros dorsales con numerosas proyecciones altamente vascularizadas y lóbulos noto- y neuropodiales adicionales, *Gymnonereis* que tiene unas proyecciones dorsales vascularizadas y presenta un cirro dorsal accesorio en los setíferos anteriores (Figs. 1B, O), o *Dendronereides* Southern, 1921, que tiene lígulas dorsales divididas en varios filamentos simples.

Setas: Son estructuras delgadas y quitinosas. Dependiendo del número de elementos que las conforman, se clasifican en simples y compuestas. Las setas simples (Fig. 1L) son raras en neréidos y pueden aparecer en *Neanthes uncinula* o en epitocos de *Namanereis malaitae*, o surgir por la fusión de dos artejos como ocurre en *Hediste* Malmgren, 1867 y *Simplisetia* Hartmann-Schröder, 1985 y algunos *Platynereis* y *Neanthes* (Figs. 1K–L). Las setas compuestas (Fig. J, K, M, N) tienen dos artejos, uno proximal o *manubrio* y el distal o *lámina* (Figs. 1J, M–N). La parte distal del manubrio, llamada *articulación*, parece un cono hueco en donde se inserta la lámina, y dependiendo del largo relativo de sus lados, pueden diferenciarse tres tipos: 1) *homogonfos* cuando los lados tienen el mismo largo (Fig. 1A), 2) *sesquigonfos* cuando un lado apenas sobresale más que el otro, y 3) *heterogonfos* (Figs. 1M, N) cuando un lado es varias veces más largo que el otro. Las láminas pueden ser *espiníferas* cuando son largas y terminan

puntiagudas, y *falcíferas* cuando la lámina es falciforme y termina en una punta incurvada y generalmente roma. Las láminas pueden estar o no denticuladas, y pueden presentar diversos tipos al variar su tamaño y forma a lo largo de la lámina, situación más común en los falcíferos.

3) Pigidio. El pigidio es el anillo final del cuerpo, donde se encuentra el ano y porta un par de cirros anales. Tradicionalmente se considera que esta estructura es posmetamérica, separada del metastomio por la región de crecimiento de nuevos segmentos (*segment additional zone* o SAZ), pero estudios recientes sobre su morfología y ontogenia en *Platynereis dumerilii* muestran similitud con segmentos metaméricos, sugiriendo que el pigidio pudo derivarse del metastomio (Starunov *et al.* 2015). Su uso como característica diagnóstica es limitado, especialmente porque en muchas ocasiones los especímenes recolectados han autotomizado ya la región posterior. Cuando está presente, puede ser un anillo ancho, estriado o crenulado, o estar formado por dos o tres lóbulos. El largo de los cirros anales es diagnóstico y es descrito como el número de segmentos finales alcanzados al ser abatidos hacia adelante. La pigmentación del pigidio, cuando está presente, también resulta de utilidad en la identificación.

Epitoquia: En su fase reproductiva, los neréidos modifican su cuerpo en diversos grados, que van desde ligeramente modificados, hasta altamente modificados, estos últimos típicamente referidos como *heteronereis* (Fig. 2E). En algunas especies, particularmente aquellas de hábitos estuarinos o dulceacuícolas (*e. g.*, algunos *Alitta*, *Hediste*, *Laeonereis*, *Namanereis*, *Neanthes*), las modificaciones son ligeras: los ojos se deforman y agrandan como manchas amorfas de pigmento rojizo a violeta, y el cuerpo pierde musculatura y otros tejidos internos. Por otra parte, muchas especies marinas forman individuos epítocos muy modificados con cambios particulares en las regiones del cuerpo. Estos cambios consisten en, además de aquellos mencionados para las especies estuarinas, un incremento de tamaño y cambio de forma en algunas lígulas, lóbulos y cirros, y aparición de setas con láminas aplanadas y ovals que ayudan a la natación de los organismos durante los eventos de enjambre (nadan hacia la columna del agua, liberan gametos, y ocurre fertilización). La distintas transformaciones a lo largo del cuerpo dan lugar al reconocimiento de

hasta tres regiones: 1) la región anterior, cuyos cambios se concentran en los primeros cirros parapodiales, y no presentan lígulas ni setas modificadas; 2) la región natatoria, donde los cambios ocurren fuertemente en los cirros, lígulas, lóbulos neuropodiales postsetales, y aparecen setas modificadas; y 3) la región caudal, no siempre presente, donde generalmente los parapodios se asemejan a las formas átocas, aunque el pigidio puede tornarse papilado. Las diferencias entre géneros pueden determinarse incluso utilizando individuos epítocos, pero éstos sólo se conocen para un reducido número de especies.

Características utilizadas para la determinación de géneros o especies:

- Formas y tamaño del prostomio y peristomio y sus estructuras asociadas (antenas, ojos, palpos, cirros tentaculares).
- Presencia, forma, número y disposición de paragnatos y papilas en las diferentes áreas de la faringe. Cuando ésta no está evertida es necesario realizar una disección ventral o, preferentemente, una disección ventrolateral para preservar el área medioventral.
- Formas, tamaño y distribución de las estructuras parapodiales (lóbulos, lígulas, cirros dorsal y ventral, setas) en parapodios anteriores (setígero 10), medios y posteriores.

Claves

En esta clave se incluyen los géneros y especies válidos registrados en América tropical. Los registros de las especies se basan principalmente en los trabajos disponibles para el Gran Caribe (Salazar-Vallejo 1996, Dean 2012) y el Pacífico Oriental Tropical (Salazar-Vallejo & Londoño-Mesa 2004), así como entre otros trabajos. La distribución de las especies en la costa occidental de Baja California (México) se indica con "B", las del Pacífico Oriental Tropical (desde el Golfo de California hasta el norte de Perú, incluyendo la zona insular) con "P", las del Golfo de México se indican con "G", y las del Gran Caribe (desde el mar Caribe hasta el norte de Brasil) con "C". Los registros cuestionables se indican con la inicial de la región más "Q", y los argumentos pueden verse en la tabla

al final. En algunos casos se incluyen notas al pie de la clave que explican alguna perspectiva taxonómica particular. Las claves de identificación aquí elaboradas están basadas en individuos átocos, a

menos que se indique lo contrario "E", ya que en ocasiones sólo se conoce la etapa epítoca de una especie o género, como en *Kainonereis peltifera* Conde-Vela, Wu & Salazar-Vallejo, 2017.

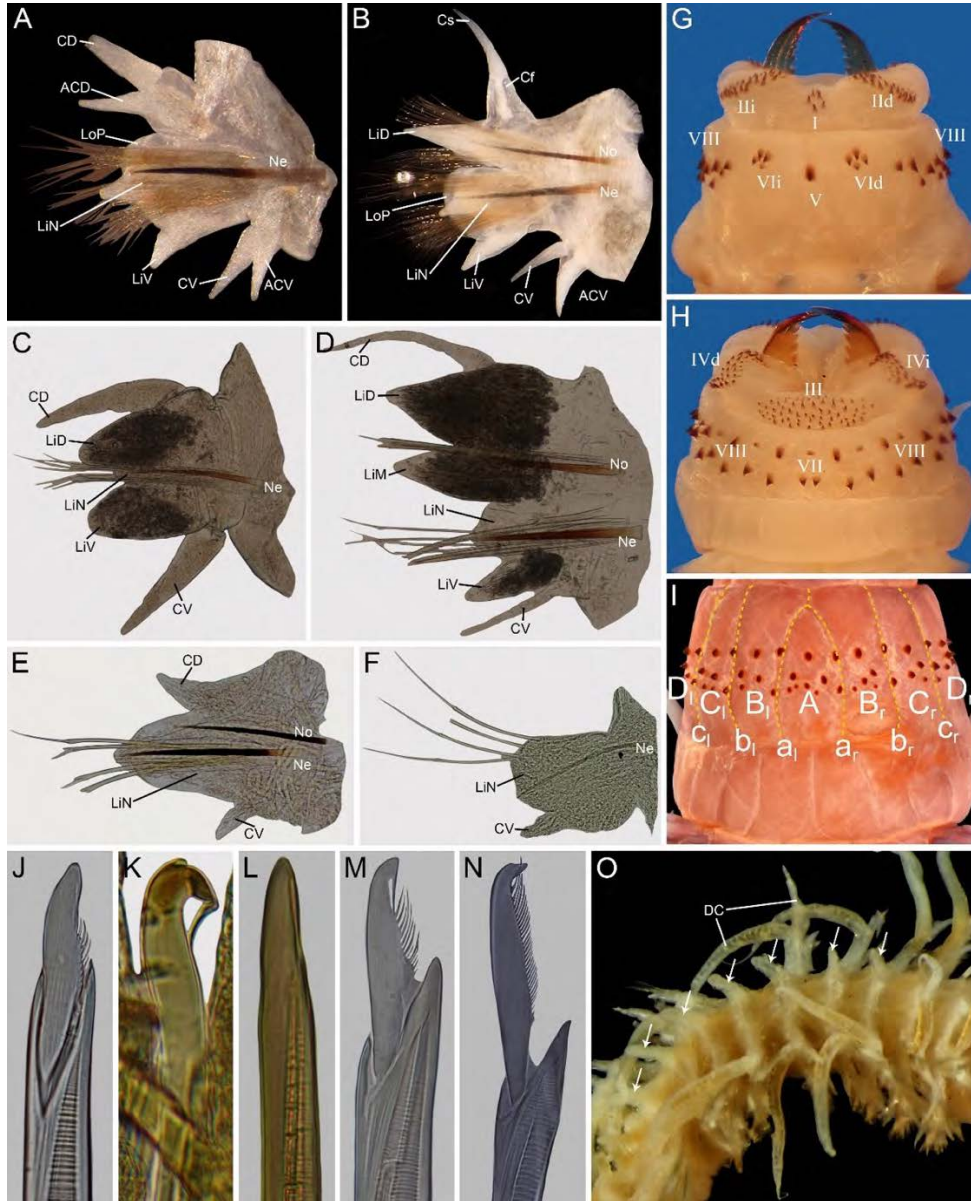


Figura 1. A) Parapodio 1 de gimnoneréidino; B) parapodio anterior de gimnoneréidino; C) parapodio 1 de neréidino; D) parapodio posterior de neréidino; E) parapodio anterior de namaneréidino; F) parapodio medio de notofícino; G) faringe de neréidino, vista dorsal (números romanos indican áreas faríngeas); H) misma, vista ventral (números romanos indican áreas faríngeas); I) áreas VII–VIII de neréidino (letras indican regiones: crestas en mayúsculas, valles en minúsculas); J) falcífero notopodial; K) seta simple notopodial; L) seta simple neuropodial; M) y N) falcíferos neuropodiales; O) setíferos medios de gimnoneréidino, vista dorsal (flechas señalan papilas dorsales). Abreviaturas: ACD= Cirro dorsal accesorio; ACV= Cirro ventral accesorio; CD= Cirro dorsal; Cf= Cirróforo; Cs= Cirrostilo; CV= Cirro ventral; LiD= Lígula dorsal; LiM= Lígula media; LiN= Lígula neuroacicular; LiV= Lígula ventral; LoP= Lígula neuropodial postsetal; Ne= Neuroacícula; No= Notoacícula.

Claves para la identificación de géneros y especies de América tropical

- 1** Antenas ausentes *Micronereis* Claparède, 1863. *M. piccola* Paxton, 1983 C
 – Antenas presentes **2**
- 2(1)** Parapodios del setígero 10 con un único lóbulo, porta las dos acículas **3**
 – Parapodios del setígero 10 con dos o más lígulas, acículas insertas en lígulas independientes.
 **4**
- 3(2)** Cirros dorsales incrementan de tamaño hacia la parte posterior del cuerpo, usualmente folioso *Namalycastis* Hartman, 1959b
 – Cirros dorsales de tamaño similar, cirriforme a lo largo del cuerpo
 *Namanereis* Chamberlin, 1919
- 4(2)** Parapodios del setígero 10 con cirros dorsales divididos en dos artejos (cirróforo y cirrostilo) bien diferenciados **5**
 – Parapodios del setígero 10 con cirros dorsales presentando un sólo artejo **7**
- 5(4)** Parapodios del setígero 10 con lígulas ventrales **6**
 – Parapodios del setígero 10 sin lígulas ventrales *Stenoninereis* Wesenberg-Lund, 1958
- 6(5)** Primeros setígeros con cirros dorsales accesorios
 *Gymnonereis* Horst, 1919 ... *G. crosslandi* (Monro, 1933) (P, G, C, Q)
 – Primeros setígeros sin cirros dorsales accesorios *Ceratocephale* Malmgren, 1867
- 7(4)** Faringe sin paragnatos **8**
 – Faringe con paragnatos **13**
- 8(7)** Faringe lisa **9**
 – Faringe con papilas en uno o en ambos anillos **12**
- 9(8)** Parapodios 5–7 con cirros dorsales elitriformes (Fig. 2D)
 *Kainonereis* Chamberlin, 1919 ... *K. peltifera* Conde-Vela, Wu & Salazar-Vallejo, 2017 (P)
 – Parapodios 5–7 con cirros dorsales cirriformes **10**
- 10(9)** Parapodios en setígeros posteriores sin lígulas dorsales y con setas falcíferas notopodiales
 *Rullierinereis* Pettibone, 1971
 – Parapodios en setígeros posteriores con lígulas dorsales y sin setas falcíferas notopodiales ...
 **11**
- 11(10)** Parapodios en setígeros posteriores con lígulas dorsales foliosas, varias veces más grande que lígulas medias *Leptonereis* Kinberg, 1865 ... *L. laevis* Kinberg, 1865 (P)
 – Parapodios en setígeros posteriores con lígulas dorsales subcónicas, de similar tamaño que las lígulas medias *Nicon* Kinberg, 1865
- 12(8)** Anillo maxilar de la faringe liso (Fig. 2J) *Websterinereis* Pettibone, 1971 ..
 *W. pettiboneae* de León-González & Balart, 2016
 P
 – Anillo maxilar de la faringe con papilas cónicas arregladas en grupos verticilados
 *Laeonereis* Hartman, 1945
- 13(7)** Anillo oral de la faringe sin paragnatos **14**
 – Anillo oral de la faringe con paragnatos **16**

- 14(13)** Áreas VII–VIII de la faringe con papilas (Fig. 2C)
 *Leonnates* Kinberg, 1865 ... *L. guadalupensis* (Amoureux, 1985) (C)
 – Áreas VII–VIII de la faringe lisas **15**
- 15(14)** Prostomio con margen anterior hendido; con falcíferos notopodiales en parapodios
 posteriores *Ceratonereis* Kinberg, 1865
 – Prostomio con margen anterior entero; sin falcíferos notopodiales en parapodios posteriores
 *Composetia* Hartmann-Schröder, 1985
- 16(13)** Anillo maxilar con paragnatos **17**
 – Anillo maxilar sin paragnatos *Eunereis* Malmgren, 1867
- 17(16)** Áreas VII–VIII con papilas y paragnatos
 *Imajimainereis* de León-González & Solís-Weiss, 2000
 *I. pacifica* de León-González & Solís-Weiss, 2000 (P)
 – Áreas VII–VIII sólo con paragnatos **18**
- 18(17)** Paragnatos de áreas II–IV arreglados en varias hileras bien definidas **19**
 – Paragnatos de áreas II–IV arreglados irregularmente en parches sigmoides o elípticos **20**
- 19(18)** Parapodios posteriores con lígulas dorsales y medias de tamaño similar
 *Platynereis* Kinberg, 1865
 – Parapodios posteriores con lígulas dorsales dos o más veces más grandes que las lígulas
 medias *Pseudonereis* Kinberg, 1865
- 20(18)** Paragnatos del área VI cónicos **21**
 – Paragnatos de las áreas VI con forma de barra *Perinereis* Kinberg, 1865
- 21(20)** Parapodios posteriores con setas falcíferas o simples notopodiales **22**
 – Parapodios posteriores sin setas falcíferas o simples notopodiales **23**
- 22(21)** Parapodios posteriores con falcíferos notopodiales *Nereis* Linnaeus, 1758¹
 – Parapodios posteriores con setas simples notopodiales
Cirronereis Kinberg, 1865 ... *C. gracilis* Kinberg, 1865² (P)
- 23(21)** Parapodios posteriores con lígula dorsal foliosa *Alitta* Kinberg, 1865
 – Parapodios posteriores con lígula dorsal cónica o redondeada *Neanthes* Kinberg, 1865³

Comentarios

- 1) *Nereis* es polifilético (Bakken & Wilson 2005) con más de 200 especies válidas y carece de una revisión taxonómica. No se han elaborado agrupaciones artificiales como en otros géneros. Muchas de las especies son muy diferentes a la especie tipo *N. pelagica*, por lo que cabrían en otros géneros. Es indispensable delimitar la morfología del género.
- 2) *Cirronereis* Kinberg, 1865 es homónimo menor de *Cirronereis* de Blainville, 1818, cuya especie tipo *C. gracilis* es indeterminable; aunque una de las especies incluidas por de Blainville, *N. prolifera* O. F. Müller, 1788 (ahora en *Myrianida*) pertenece a Syllidae. *Cirronereis* Kinberg no está disponible siguiendo el ICZN (1999), y necesita un nombre de reemplazo.
- 3) *Neanthes* es polifilético (Bakken & Wilson 2005) con muchas especies morfológicamente diferentes a *N. vaalii* (especie tipo), requiere de una revisión para redefinirlo. Varias de las especies anteriormente referidas en *Neanthes* con lígula dorsal expandida fueron transferidas a *Alitta* (Villalobos-Guerrero & Carrera-Parra 2015, Villalobos-Guerrero & Bakken 2018); sin embargo, la especie con lígula dorsal similar, *N. micromma* Harper, 1979, recientemente redescrita por Davenport *et al.* (2021), no se ajusta a la morfología de ambos géneros, siendo indispensable la re-evaluación de su posición genérica.

Alitta Kinberg, 1865

- 1 Parapodios posteriores con cirro dorsal inserto medialmente en lígula dorsal (Fig. 2A); área V fusionada a área VIII (Fig. 2D); área III con más de 65 paragnatos *A. plenidentata* (Moore, 1909) (B)
- Parapodios posteriores con cirro dorsal inserto distalmente en lígula dorsal (Fig. 2B); área V bien separada de área VIII (Fig. 2C); área III con menos de 20 paragnatos *A. acutifolia* (Ehlers, 1901) (P)

Ceratocephale Malmgren, 1867

- 1 Superficie dorsal de setígeros medios con papilas medio dorsales (Fig. 1O) 2
- Superficie dorsal de setígeros medios lisa 3
- 2(1) Con ojos (Fig. 3A); cirro ventral doble desde el setígero 1 *C. papillata* de León-González & Góngora-Garza, 1993 (B)
- Sin ojos (Fig. 3B); cirro ventral doble desde el setígero 3 *C. hartmanae* Banse, 1977 (B, P)
- 3(1) Con ojos *C. oculata* Banse, 1977 (C, G)
- Sin ojos *C. pacifica* Hartman, 1960 B, P

Ceratonereis Kinberg, 1865

- 1 Notopodios posteriores sin lígulas dorsales (Fig. 4A); cirros dorsales más largos que ancho del segmento (Fig. 4A) *C. longicirrata* Perkins, 1980 (C)
- Notopodios posteriores con lígulas dorsales, notorias o apenas desarrolladas (Fig. 4C–D); cirros dorsales tan largos como el ancho del cuerpo o ligeramente más cortos 2
- 2(1) Falcígeros notopodiales unidentados (Fig. 4B); lígulas dorsales en parapodios posteriores tan largas como la mitad del largo de lígulas medias (Fig. 4D) *C. singularis* Treadwell, 1929 (C–Q, G–Q, P)
- Falcígeros notopodiales bidentados (Fig. 4E); lígulas dorsales en parapodios posteriores muy cortas con respecto a lígulas medias, apenas visibles (Fig. 4C) *C. mirabilis* Kinberg, 1865¹ (C–Q, G–Q, P–Q)

Comentarios

- 1) Descrita para el noreste de Brasil. Cuestionable para ambos litorales de América tropical.

Composetia Hartmann-Schröder, 1985

- 1 Notopodios anteriores sólo con lígulas dorsales y medias (Fig. 4F); falcígeros neuropodiales heterogonfos con lámina muy larga (Fig. 4J) *C. vermillionensis* Fauchald, 1972 (P)
- Notopodios anteriores con lígulas dorsales y medias, además de lóbulos presetales desarrollados (Fig. 4G–K); falcígeros neuropodiales heterogonfos con lámina corta 2

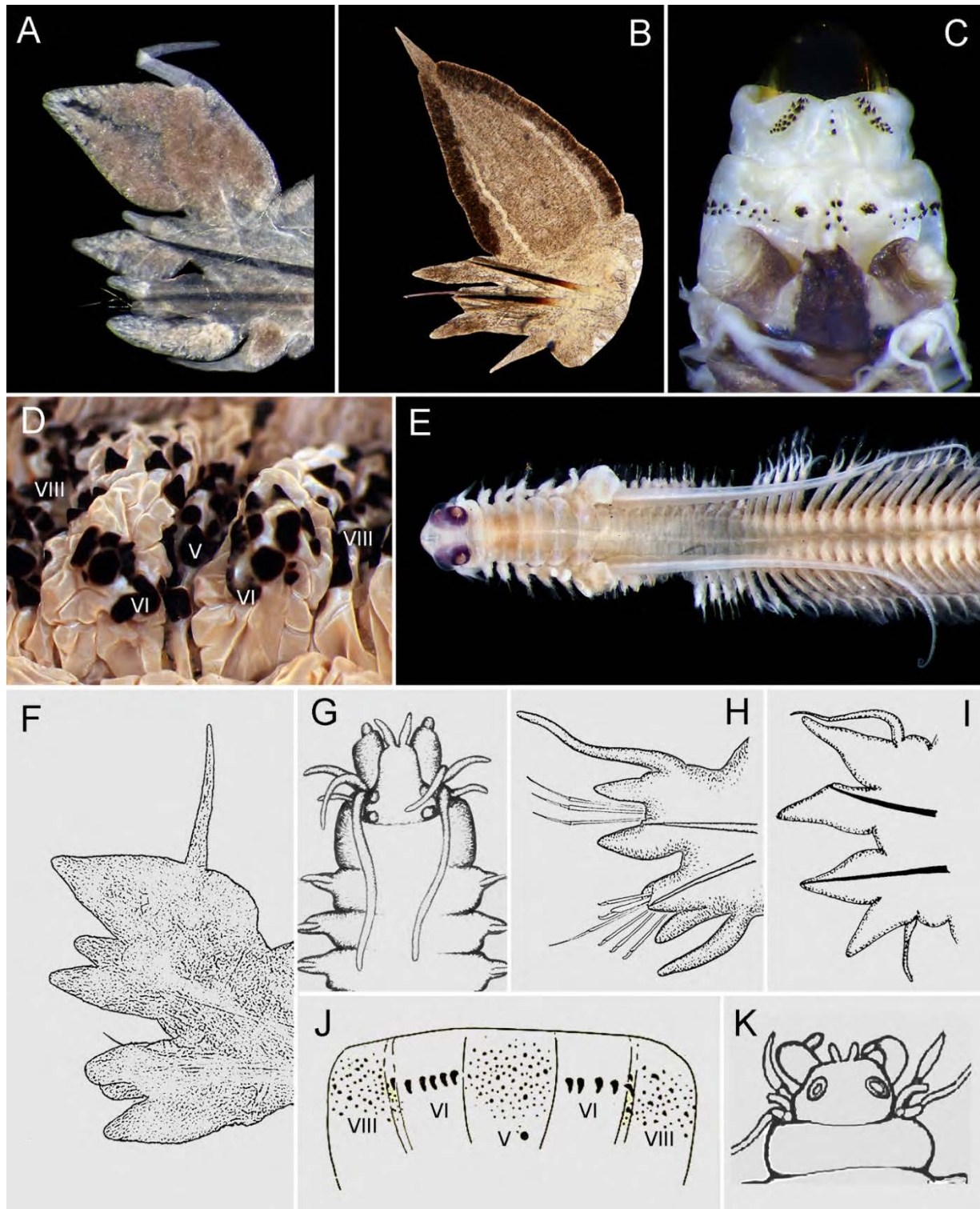


Figura 2. *Alitta plenidentata*: A) Parapodio posterior, D) anillo oral de la faringe, acercamiento VD; *A. acutifolia*: B) Parapodio posterior, C) extremo anterior, VD; *Neanthes egregiacirrata*: E) Región anterior, VD; *N. acuminata*: F) Parapodio anterior; *N. galetae*: G) Extremo anterior; H) parapodio posterior; *N. mexicana*: I) Parapodio posterior, K) extremo anterior, VD; *N. roosevelti*: J) Anillo oral de la faringe, VD. Modificados de: G, K) Fauchald (1972); I) de León-González & Solís-Weiss (2000); J) Hartman (1939).

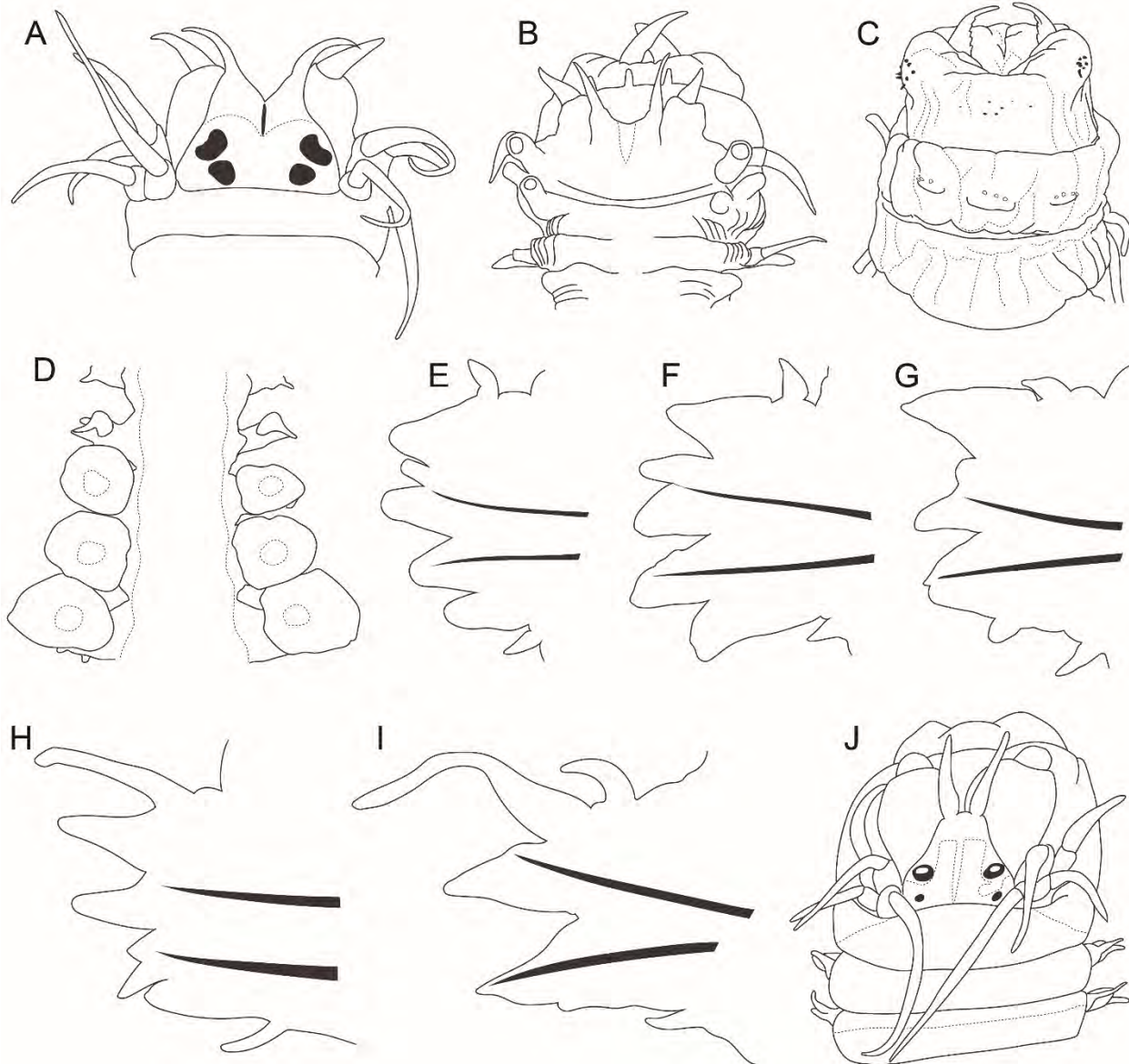


Figura 3. *Ceratocephale papillata*: A) extremo anterior; *C. hartmanae*: B) extremo anterior; *Leonnates guadalupensis*: C) extremo anterior, vista ventral; *Kainonereis peltifera*: D) setígeros 3–7, vista dorsal; *Laonereis nota*: E) parapodio medio; *L. watsoni*: F) parapodio anterior; *L. brunnea*: G) parapodio anterior; *Nicon moniloceras*: H) parapodio medio; *N. orensanzi*: I) parapodio medio; *Websterinereis pettiboneae*: J) extremo anterior. Modificados de: D) Conde-Vela *et al.* (2018); J) de León-González & Balart (2016).

- 2 (1) Notopodios anteriores con lóbulos presetales largos, casi tan largos como lígulas medias (Fig. 4G); neuropodios anteriores con lóbulos postsetales desarrollados (Fig. 4G); parapodios anteriores con falcígeros neuropodiales heterogonfos (Fig. 4H); área III con dos paragnatos en línea *C. versipedata* (Ehlers, 1887) (C)
 – Notopodios anteriores con lóbulos presetales cortos, no rebasan mitad del largo de lígulas medias (Fig. 4K); neuropodios anteriores sin lóbulo postsetal (Fig. 4K); parapodios anteriores con falcígeros neuropodiales homogonfos (Fig. 4I); área III sin paragnatos
 *C. monronis* Westheide, 1977 (P)

Eunereis Malmgren, 1867

- 1 Parapodios posteriores con cirros dorsales más cortos que lígula dorsal (Fig. 5L); notopodios sin falcíferos *E. paitillae* Fauchald, 1977 (P)
 – Parapodios posteriores con cirros dorsales más largos que lígula dorsal (Fig. 5M); notopodios con falcíferos (Fig. 5N) *E. eugeniae* de León-González & Solís-Weiss, 2000 P

Laeonereis Hartman, 1940

- 1 Parapodios en setígeros medios con lígulas dorsales y ventrales de tamaño similar (Fig. 3G) *L. brunnea* Hartmann-Schröder, 1959 (P)
 – Parapodios en setígeros medios con lígulas dorsales más cortas que lígulas ventrales 2
- 2(1) Parapodios en setígeros anteriores con lígulas dorsales dos veces más largos que lóbulos notopodiales presetales (Fig. 3E) *L. nota* (Treadwell, 1941) (C, G)
 – Parapodios en setígeros anteriores con lóbulos notopodiales presetales dos veces más largos que lígulas dorsales (Fig. 3F) ... *L. watsoni* de León-González, Méndez & Navedo, 2017 (P)

Namalycastis Hartman, 1959b

- 1 Ojos ausentes (Fig. 5D) *Namalycastis occulta* Conde-Vela, 2013¹ (C)
 – Ojos presentes 2
- 2(1) Mandíbulas con dientes sólo en la sección distal del margen interno (Fig. 5C) *Namalycastis macroplatis* Glasby, 1999 (C)
 – Mandíbulas con dientes en toda el margen interno (Fig. 5B) 3
- 3(2) Parapodios en setígeros posteriores con cirros dorsales 2.5 veces más largos que las lígulas neuroaciculares (Fig. 5A) *Namalycastis abiuma* (Müller y Grube in Grube, 1872) grupo de especies (C–Q)
 – Parapodios en setígeros posteriores con cirros dorsales 3.5–4.0 veces más largos que las lígulas neuroaciculares (Fig. 5E) *Namalycastis borealis* Glasby, 1999 (C, G)

Comentarios

- 1) Conde-Vela (2013) consideró esta especie como similar a un grupo cavernícola de *Namanereis*, pero la mantuvo en *Namalycastis* siguiendo las características diagnósticas propuestas por Glasby (1999): número de cirros tentaculares, y la forma del prostomio, de las antenas, de los cirros dorsales a lo largo del cuerpo, y de los oocitos. Más tarde, Conde-Vela (2017) discutió las similitudes entre *N. occulta* y los *Namanereis* cavernícolas, destacando que las supuestas troglomorfiás presentes en estos últimos no son únicas de especies cavernícolas; asimismo, sugirió mecanismos de formación de estas supuestas troglomorfiás en especies epígeas que respaldan la afinidad genérica de *N. occulta*. Alves *et al.* (2018) transfirieron esta especie a *Namanereis* con base en sus resultados filogenéticos. Sostuvieron que la presencia de cirróforos de los cirros dorsales es la principal característica diagnóstica entre *Namalycastis* y *Namanereis*, los cuales están bien delimitados en *Namalycastis*. El resto de características diagnósticas no fueron discutidas, y tampoco se propusieron nuevas diagnósis genéricas. La combinación original de *N. occulta* es aquí seguida hasta que un estudio más detallado desvele su posición genérica.

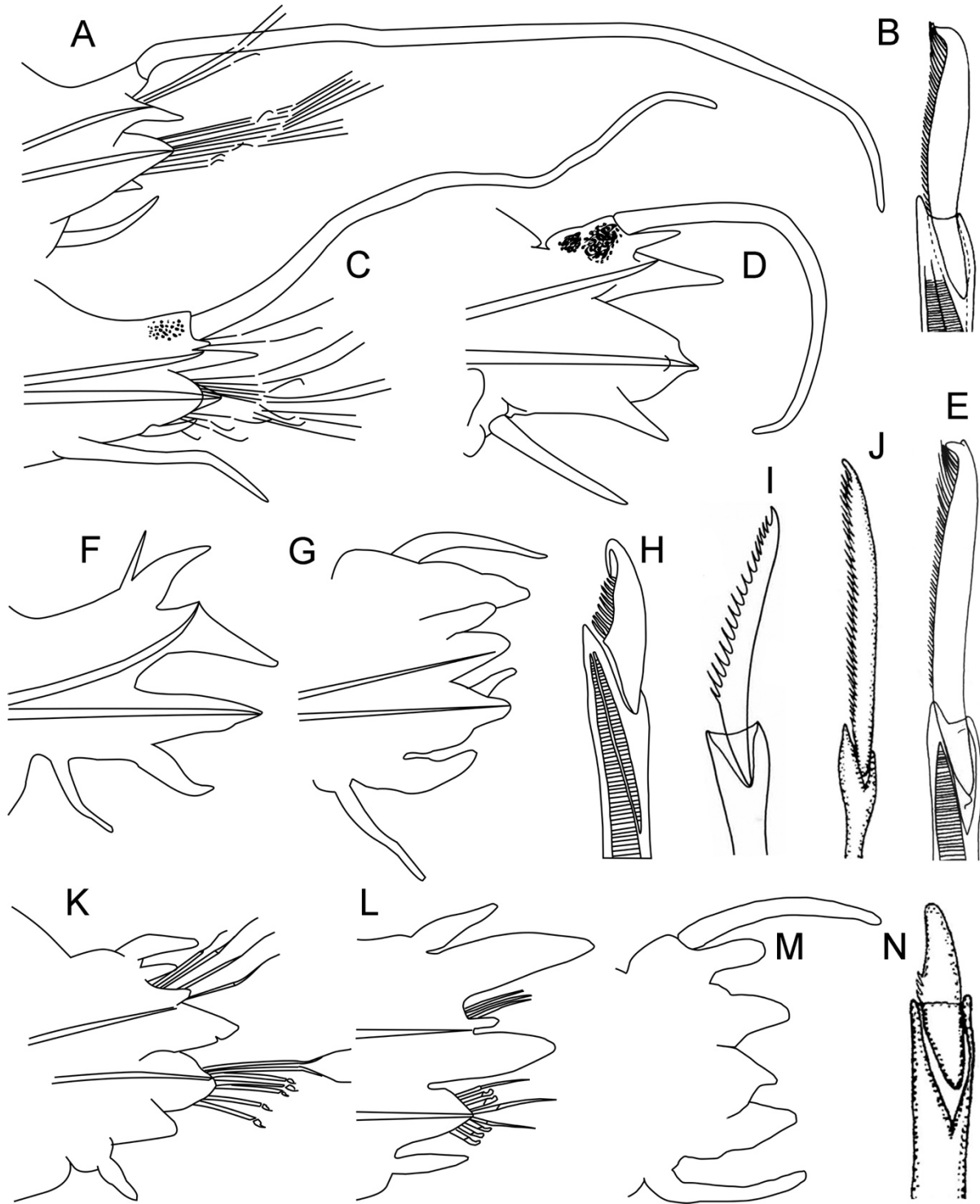


Figura 4. *Ceratonereis longicirrata*: A) Parapodio posterior; *Ceratonereis singularis*: B) Falcígero notopodial sesquigonfo, D) parapodio posterior; *Ceratonereis mirabilis*: C) Parapodio posterior, E) falcígero notopodial sesquigonfo; *Compositia vermillionensis*: F) Parapodio anterior, J) falcígero heterogonfo; *Compositia versipedata*: G) Parapodio anterior, H) falcígero heterogonfo; *Compositia monronis*: I) Parapodio posterior, K) falcígero homogonfo; *Eunereis paitillae*: L) Parapodio posterior; *E. eugeniae*: M) Parapodio posterior, N) falcígero homogonfo. Modificados de: A)–E) Perkins (1980); F), J) Fauchald (1972); G)–H) Ehlers (1887); I), K) Westheide (1977); L) Fauchald (1977); M)–N) de León-González & Solís-Weiss (2000).

Namanereis Chamberlin, 1919

1 Cuatro pares de cirros tentaculares	2
– Tres pares de cirros tentaculares	3
2(1) Cirros dorsales en los parapodios de setígeros posteriores más cortos que la lígula neuroacicular (Fig. 5J)	<i>N. minuta</i> Glasby, 1999 (C)
– Cirros dorsales en los parapodios de setígeros posteriores más largos que la lígula neuroacicular (Fig. 5K)	<i>N. stocki</i> Glasby, 1999 (C)
3(1) Ojos presentes	4
– Ojos ausentes	7
4(3) Ojos apenas visibles, par anterior ligeramente fusionado con el posterior (Fig. 5O)	<i>N. sublittoralis</i> Glasby, 1999 (C)
– Ojos claramente visibles y separados	5
5(4) Falcígeros con puntas largas, al menos un tercio del margen distal interno de la lámina sin dientes	6
– Falcígeros con puntas cortas, dientes presentes en casi toda la longitud del margen distal interno de la lámina (Fig. 5N)	<i>N. littoralis</i> (Müller & Grube <i>in</i> Grube, 1872) grupo de especies C-Q
6(5) Falcígeros con láminas más largas que el extremo más largo de la articulación (Fig. 5G) ..	<i>N. amboinensis</i> (Pflugfelder, 1933) (G-Q, C-Q)
– Falcígeros con láminas más cortas que el extremo más largo de la articulación (Fig. 5M)	<i>N. riojai</i> (Bastida-Zavala, 1990) P
7(2) Margen anterior del prostomio hendido	8
– Margen anterior del prostomio entero	9
8(7) Cirro dorsal más corto que las lígulas neuroaciculares en setígeros anteriores (Fig. 5F)	<i>N. cavernicola</i> (Solís-Weiss & Espinasa, 1991) (P)
– Cirro dorsal más largo que las lígulas neuroaciculares en setígeros anteriores (Fig. 5I)	<i>N. alticola</i> (Johnson, 1903) (P)
9(7) Falcígeros supra-aciculares con dientes basales notablemente más grandes que los distales (Fig. 5L)	<i>N. hummelincki</i> (Augener, 1933) (C)
– Falcígeros supra-aciculares con dientes de similar longitud a lo largo de la lámina (Fig. 5H)	<i>N. christopheri</i> Conde-Vela, 2017 (C)

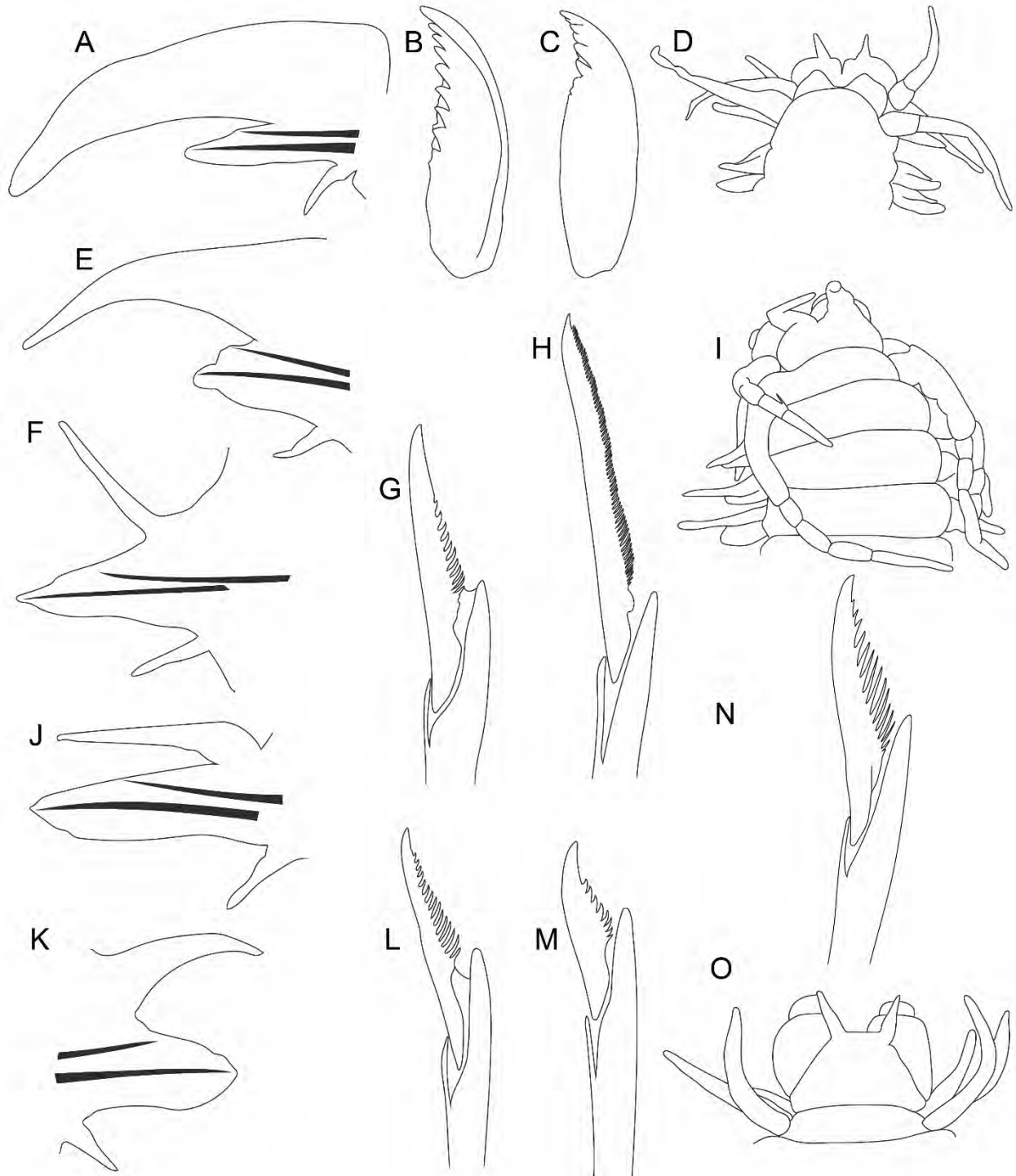


Figura 5. *Namalycastis abiuma*: A) parapodio posterior, B) mandíbula; *N. macroplatis*: C) mandíbula; *N. occulta*: D) extremo anterior; *N. borealis*: E) parapodio posterior; *Namanereis cavernicola*: F) parapodio anterior; *N. amboinensis*: G) falcígero supra-acicular; *N. christopheri*: H) falcígero supra-acicular; *N. alticola*: I) extremo anterior; *N. minuta*: J) parapodio posterior; *N. stocki*: K) parapodio posterior; *N. hummelincki*: L) falcígero supra-acicular; *N. riojai*: M) falcígero supra-acicular; *N. littoralis*: N) extremo anterior; *N. sublittoralis*: O) extremo anterior (ojos no ilustrados). Modificados de: A)–D), J)–O) Glasby (1999); E) Conde-Vela (2013); F)–H) Conde-Vela (2017); I) Johnson (1903).

Neanthes **Kinberg 1865**

- 1 Parapodio 6 marcadamente modificado, cirro dorsal extremadamente largo (especialmente en epitocos; Fig. 2E) *N. egregiacirrata* (Treadwell, 1924) (C)
 – Parapodio 6 no modificado 2
- 2 (1) Notopodios anteriores sin lóbulo presetal; neuropodios anteriores sin lóbulo postsetal...
 3
 – Notopodios anteriores con lóbulo presetal (Fig. 2F); neuropodios anteriores con lóbulo postsetal (Fig. 2F) *N. acuminata* (Ehlers, 1868)¹ (B–Q, C–Q, G–Q, P–Q)
- 3(2) Área V con aprox. 50 conos pequeños (Fig. 2J); área I con aprox. 50 paragnatos; área VI con 5 conos en hilera transversa (Fig. 2J) *N. roosevelti* Hartman, 1939 (P)
 – Área V sin paragnatos; área I con 0–2 paragnatos; área VI con conos en un parche circular o un cono solitario 4
- 4(3) Ojos posteriores grandes, notorios (Fig. 2G); parapodios posteriores con cirro dorsal dos veces o más largo que lígula dorsal (Fig. 2H); falcígeros neuropodiales con lámina corta....
 *N. galetae* Fauchald, 1977 (C, P–Q)
 – Ojos posteriores muy pequeños, inconspicuos (Fig. 2K); parapodios posteriores con cirro dorsal ligeramente más largo que lígula dorsal (Fig. 2I); falcígeros neuropodiales con lámina larga *N. mexicana* Fauchald, 1972 (P)

Comentarios

- 1) Cuestionable en ambos litorales de América tropical. Fue descrita de Nápoles, Italia, pero se ha registrado repetidamente, algunas veces como *N. caudata* (delle Chiaje, 1827). Este último nombre nunca debió de estar en uso dentro de la familia. delle Chiaje, basado en *Spio caudatus*, un nombre de reemplazo que propuso Lamarck (1818) para un espionido pero que era innecesario, usó este nombre para referirse equivocadamente a un neréidido. Así, el nombre *N. caudata* (*sensu* delle Chiaje) deviene inválido, mientras que *N. acuminata* sería el siguiente nombre disponible actualmente válido (Read 2016).

Nereis **Linnaeus, 1758**

- 1 Paragnatos del área VII–VIII en una línea 2
 – Paragnatos del área VII–VIII en dos o más líneas 11
- 2(1) Paragnatos presentes en el área V *N. rigida* Grube & Ørsted *in* Grube, 1858 (P)
 – Paragnatos ausentes en el área V 3
- 3(2) Paragnatos presentes en el área I 4
 – Paragnatos ausentes en el área I 9
- 4(3) Paragnatos del área I con 4 o más conos; parapodios posteriores con lígula dorsal rectangular, alargada (Fig. 6A) *N. sandersi* Blake, 1985 (P)
 – Paragnatos del área I con 1–3 conos; parapodios posteriores con lígula dorsal cónica 5
- 5(4) Parapodios del setígero 10 con lígulas redondeadas (Fig. 6B)
 *N. allenae* Pettibone, 1956¹ (C)
 – Parapodios del setígero 10 con lígulas cónicas (Fig. 6C) 6
- 6(5) Lámina de falcígeros homogonfos notopodiales con diente distal recurvado (Fig. 6R)
 *N. riisei* Grube & Ørsted *in* Grube, 1858 (C, G, P–Q)
 – Lámina de falcígeros homogonfos notopodiales distalmente entera 7

- 7(6)** Paragnatos del área VI con conos en arreglo romboidal; lámina de falcígeros homogonfos notopodiales larga, multidentada (Fig. 6S).....
 *N. casoae* de León-González & Solís-Weiss, 2001 (P)
 – Paragnatos del área VI con conos en arreglo transversal, o uno solitario; lámina de falcígeros homogonfos notopodiales corta, lisa o poco dentada **8**
- 8(7)** Paragnatos del área VI con 3 conos, área III con 22 conos; lámina de falcígeros homogonfos notopodiales lisa (Fig. 6T); cirros tentaculares posterodorsales alcanzan setígeros 8–10
 *N. fossae* Fauchald, 1972 (P)
 – Paragnatos del área VI con 1 cono, área III sin paragnatos; lámina de falcígeros homogonfos notopodiales dentada (Fig. 6U); cirros tentaculares posterodorsales alcanzan setígero 3
 *N. anoculopsis* Fauchald, 1972 (P)
- 9(3)** Parapodios del setígero 10 con lígulas redondeadas (Fig. 6D), cirro dorsal de tamaño similar a lígula dorsal
 *N. baolingi* de León-González & Solís-Weiss, 2000 (B)
 – Parapodios del setígero 10 con lígulas cónicas, cirro dorsal dos veces más largo que lígula dorsal..... **10**
- 10(9)** Parapodios posteriores con lígulas dorsales muy reducidas con respecto a lígula media (Fig. 6E); falcígeros homogonfos notopodiales con lámina distalmente bífida (Fig. 6V)
 *N. panamensis* Fauchald, 1977 (C, G)
 – Parapodios posteriores con lígulas dorsales de tamaño similar a lígula media (Fig. 6F); falcígeros homogonfos notopodiales con lámina distalmente entera
 *N. alacranensis* Ramírez-Hernández *et al.*, 2015 (C)
- 11(1)** Paragnatos presentes en el área V **12**
 – Paragnatos ausentes en el área V **17**
- 12(11)** Parapodios posteriores con lígula dorsal foliosa (Fig. 6G); notopodios anteriores con lóbulo presetal; paragnatos del área VI con 6 conos en arreglo circular
 *N. inflata* de León-González & Solís-Weiss, 2001 (B)
 – Parapodios posteriores con lígula dorsal cónica o redondeada; notopodios anteriores sin lóbulo presetal; paragnatos del área VI con 4 conos en arreglo romboidal **13**
- 13(12)** Paragnatos del área VII–VIII en tres o más líneas; paragnatos del área I con 1–2 conos; lámina de falcígeros homogonfos notopodiales distalmente entera **14**
 – Paragnatos del área VII–VIII en dos líneas; paragnatos del área I con 4 o más conos; lámina de falcígeros homogonfos notopodiales con diente distal recurvado **15**
- 14(13)** Parapodios del setígero 10 con lígulas redondeadas (Fig. 6H); lámina de falcígeros homogonfos notopodiales lisa; parapodios posteriores con cirro dorsal 3–4 veces más largo que lígula dorsal
 *N. largoensis* Treadwell, 1931 (C, G)
 – Parapodios del setígero 10 con lígulas cónicas (Fig. 6I); lámina de falcígeros homogonfos notopodiales dentada; parapodios posteriores con cirro dorsal 1.5–2 veces más largo que lígula dorsal
 *N. latescens* Chamberlin, 1918 (B, P)
- 15(13)** Pigmentación dorsal como un patrón estriado, generalmente a lo largo de los primeros 10 setígeros; cirros tentaculares posterodorsales largos, se extienden más allá del setígero 8
 *N. garwoodi* González-Escalante & Salazar-Vallejo, 2003 (C)
 – Pigmentación dorsal diferente; cirros tentaculares posterodorsales cortos, alcanzan setígeros 4–7 **16**

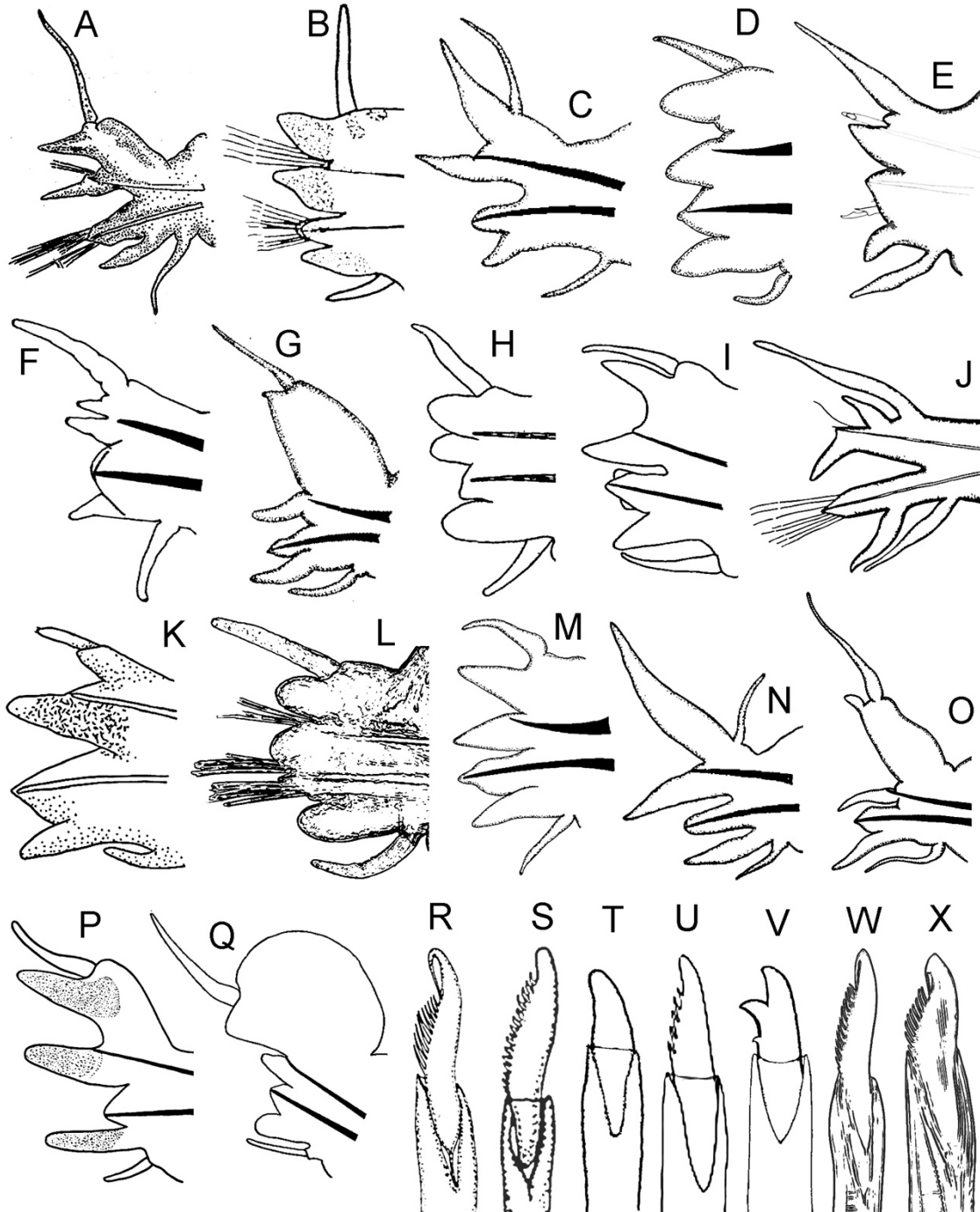


Figura 6. *Nereis sandersi*: A) Parapodio posterior; *N. allenae*: B) Parapodio anterior; *N. fossae*: C) Parapodio posterior, T) falcígero homogonfo; *N. baolingii*: D) Parapodio anterior; *N. panamensis*: E) Parapodio posterior, V) falcígero homogonfo bifido; *N. alacranensis*: F) Parapodio posterior; *N. inflata*: G) Parapodio posterior; *N. largoensis*: H) Parapodio anterior; *N. latescens*: I) Parapodio anterior; *N. caymanensis*: J) Parapodio posterior; *N. costaricaensis*: K) Parapodio posterior; *N. pelagica*: L) Parapodio anterior; *N. imajimai*: M) Parapodio anterior; *N. angelensis*: N) Parapodio posterior; *N. fauchaldi*: O) Parapodio posterior; *N. callaona*: P) Parapodio posterior; *N. grubei*: Q) Parapodio posterior; *N. riisei*: R) Falcígero homogonfo; *N. casoae*: S) Falcígero homogonfo; *N. anculopsis*: U) Falcígero homogonfo; *N. oligohalina*: W) Falcígero homogonfo; *N. confusa*: X) Falcígero homogonfo. Modificados de: A) Blake (1985); B) Pettibone (1956); D) de León-González & Solís-Weiss (2000); E, V) Fauchald (1977); F) Ramírez-Hernández *et al.* (2015); G) de León-González & Solís-Weiss (2001); H) Treadwell (1929); I) Hartman (1968); K) Dean (2001); M) de León-González & Díaz-Castañeda (1998); P)–Q) Reish (1954); T)–U) Fauchald (1972); W)–X) Conde-Vela & Salazar-Vallejo (2015).

- 16(15)** Pigmentación dorsal con un patrón de huella dactilar desde setígeros 10–11; lámina de falcígeros homogonfos notopodiales delgada, diente distal largo, apenas desarrollado (Fig. 6W); mandíbulas con dientes distribuidos a lo largo de su borde interno *N. oligohalina* (Rioja, 1946) (G)
- Pigmentación dorsal con un patrón moteado en primeros 10–14 setígeros; lámina de falcígeros homogonfos notopodiales robusta, diente distal corto, bien desarrollado (Fig. 6X); mandíbulas con dientes restringidos a la parte distal de su borde interno *N. confusa* Conde-Vela & Salazar-Vallejo, 2015 (P)
- 17(11)** Parapodios posteriores con lígulas dorsales muy reducidas con respecto a lígulas medias **18**
- Parapodios posteriores con lígulas dorsales de tamaños similares, o más largas que lígulas medias **19**
- 18(17)** Paragnatos del área VII–VIII con 30 conos en tres o más líneas; ramas parapodiales de setígeros posteriores muy alargadas; cirros dorsales muy largos, extendiéndose más allá de las lígulas (Fig. 6J) *N. caymanensis* Fauchald, 1977 (C)
- Paragnatos del área VII–VIII con 16–22 conos en dos líneas; ramas parapodiales de setígeros posteriores cortas; cirros dorsales cortos, no rebasan las lígulas (Fig. 6K) *N. costaricaensis* Dean, 2001 (P)
- 19(17)** Parapodios posteriores con lígulas dorsales de tamaños similares a lígulas medias . **20**
- Parapodios posteriores con lígulas dorsales expandidas o muy alargadas con respecto a lígulas medias **22**
- 20(19)** Parapodios del setígero 10 con lígulas redondeadas, cirro dorsal 2–2.5 veces más largo que lígula dorsal (Fig. 6L) *N. pelagica* (Linnaeus, 1758)² (B–Q, C–Q, G–Q, P–Q)
- Parapodios del setígero 10 con lígulas cónicas, cirro dorsal de tamaño similar o 1.5 veces más largo que lígula dorsal **21**
- 21(20)** Parapodios del setígero 10 con cirro dorsal de tamaño similar a lígula dorsal (Fig. 6M); área I sin paragnatos; área III con 6 paragnatos; área IV con 6–9 paragnatos *N. imajimai* de León-González & Díaz-Castañeda, 1998 (B)
- Parapodios del setígero 10 con cirro dorsal 1.5 veces más que lígula dorsal; área I con 3 paragnatos; área III con 25–30 paragnatos; área IV con 40 paragnatos *N. arroyensis* Treadwell, 1901 (C)
- 22(19)** Parapodios posteriores con lígulas dorsales muy alargadas, subuladas (Fig. 6N); parapodios del setígero 10 con cirro dorsal de tamaño similar a lígula dorsal; cirros tentaculares posterodorsales alcanzan setígeros 10–13 *N. angelensis* Fauchald, 1972 (P)
- Parapodios posteriores con lígulas dorsales expandidas; parapodios del setígero 10 con cirro dorsal más largo que lígula dorsal; cirros tentaculares posterodorsales alcanzan setígeros 3–6 **23**
- 23(22)** Paragnatos del área VI con conos en arreglo transversal o circular **24**
- Paragnatos del área VI con conos en arreglo romboidal **25**

- 24(23)** Paragnatos del área VI con conos en arreglo circular; parapodios del setígero 10 con lígulas redondeadas; parapodios posteriores con lígulas dorsales llanas en margen superior (Fig. 6O); área III con 14 paragnatos *N. fauchaldi* de León-González & Díaz-Castañeda, 1998 (B)
- Paragnatos del área VI con conos en arreglo transversal; parapodios del setígero 10 con lígulas cónicas; parapodios posteriores con lígulas dorsales convexas en margen superior; área III con 30–50 paragnatos *N. veleronis* Hartman, 1940 (B, P)
- 25(23)** Paragnatos del área VII con un solo tamaño; parapodios posteriores con lígulas dorsales medianamente expandida, con margen dorsal aplanado (Fig. 6P); parapodios posteriores con lígulas digitiformes, largas, bien separadas entre sí; lámina de falcígeros homogonfos notopodiales larga, multidentada, con diente distal recurvado *N. callaona* (Grube & Kröyer *in* Grube, 1858) (P, C–Q)
- Paragnatos del área VII con conos robustos y un parche de conos pequeños; parapodios posteriores con lígulas dorsales marcadamente expandida, con margen dorsal muy convexo (Fig. 6Q); parapodios posteriores con lígulas redondeadas, cortas, poco separadas; lámina de falcígeros homogonfos notopodiales corta, poco dentada, distalmente roma *N. grubei* (Kinberg, 1865)³ (B–Q, P)

Comentarios

- 1) Disposición del número de paragnatos basada en de León-González *et al.* (1999).
- 2) Morfología basada en Hartmann-Schröder (1996). Especie descrita de Halland, mar de Kattegat, Suecia (Linnaeus 1761, Khlebovich 1996). Se incluyó en la clave solamente para compararla con otras especies similares; sin embargo, en ambos litorales de América tropical podrían pertenecer a otras especies.
- 3) Hartman (1949) revisó y describió el material tipo de la especie, pero lo denominó dentro de *N. callaona*. Reish (1954) sinonimizó varias especies del Pacífico (e. g., *N. mediator*, *N. eucapitis*, *N. pseudoneanthes*) con *N. grubei*, pero no revisó el holotipo; aunque sí revisó el tipo de *N. callaona*. Basados en ambas descripciones de los holotipos por Hartman y Reish, las diferencias son notorias entre ambas especies y se mencionan en la clave.

Nota

- 1) Todas aquellas especies válidas de *Nereis* que fueron descritas para otras regiones ajenas a América tropical fueron excluidas para evitar nuevos registros dudosos para la región. Sin embargo, se incluyeron algunas especies clave cuya morfología podría ser conocida únicamente bajo ese nombre, aunque haya especies disponibles para ser restablecidas. Un breve análisis para las especies de *Nereis* excluidas —incluyendo aquellas por de León-González (2009)— se mencionan en la tabla 1.

Nicon Kinberg, 1865

- 1** Lígulas dorsales y medias de similar tamaño a lo largo del cuerpo (Fig. 3H) *N. moniloceras* (Hartman, 1940) (P)
- Lígulas dorsales dos o más veces más largas que las lígulas medias en setígeros medios y posteriores (Fig. 3I) *N. orensanzi* de León-González & Trovant, 2013 (P)

Perinereis Kinberg, 1865

- 1** Área VI con 16–24 barras; parapodios del setígero 10 con lígula dorsal marcadamente más reducida que lígula media (Fig. 7A); área III sin paragnatos *P. seridentata* (Hartmann-Schröder, 1959)¹ (P)
- Área VI con 1–2 barras; parapodios del setígero 10 con lígula dorsal de tamaño similar o más grande que lígula media; área III con paragnatos **2**

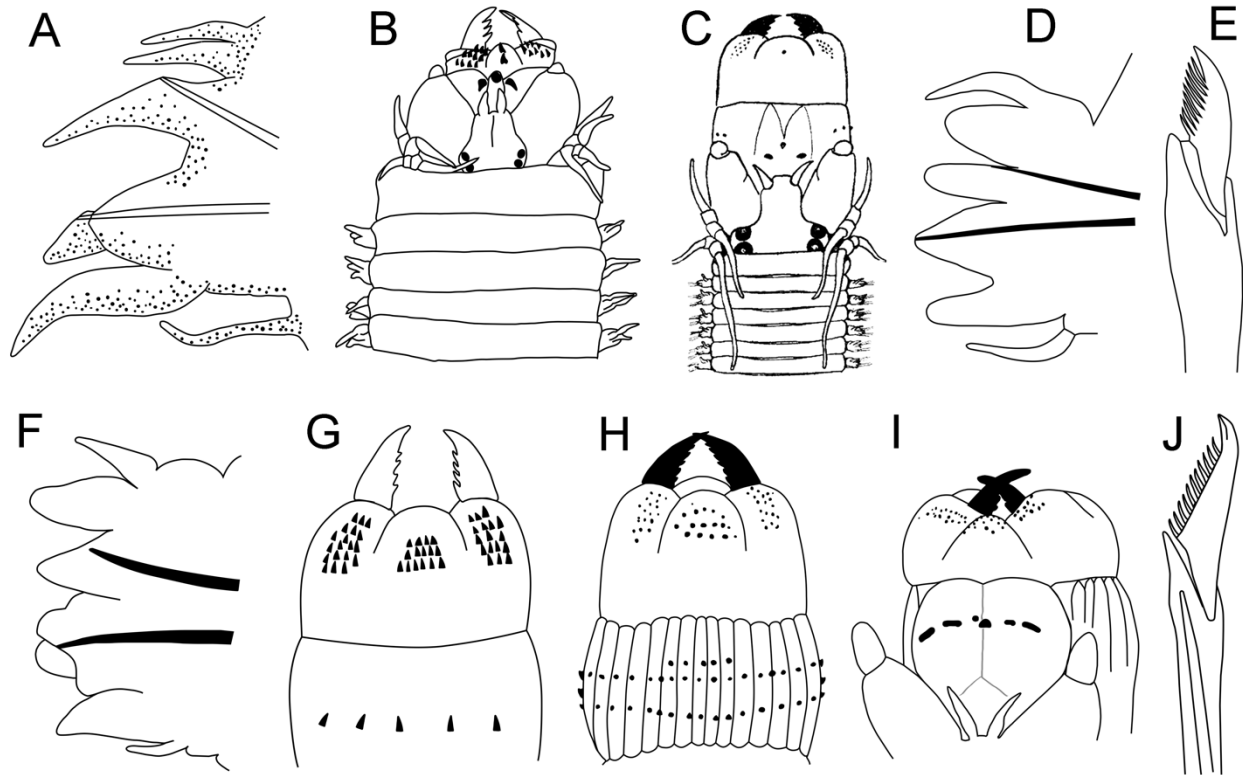


Figura 7. *Perinereis seridentata*: A) Parapodio anterior; *P. rookeri*: B) Región anterior, F) parapodio anterior; *P. villalobosi*: C) Región anterior; *P. cariaensis*: D) Parapodio anterior; *P. bajacalifornica*: G) Faringe, VV; *P. elenacosoae*: H) Faringe, VV; *P. cariboea*: E) Falcigero heterogonfo; *P. mochimaensis*: I) Faringe, VD, J) falcigero heterogonfo. Modificados de: A) Dean (2001); B), F) de León-González & Goethel (2013); C), H) Rioja (1947); D), I) Liñero-Arana (1983); E) de León-González & Solís-Weiss (1998).

- 2(1) Parapodios posteriores con lígulas dorsales de tamaños similares, o ligeramente más agrandadas que lígulas medias 3
- Parapodios posteriores con lígulas dorsales marcadamente más expandidas con respecto a lígulas medias 6
- 3(2) Área I con 11 paragnatos; parapodios del setífero 10 con cirro dorsal más largo que lígula dorsal (Fig. 7D) *P. cariaensis* Liñero-Arana, 1983 (C)
- Área I con 1–2 paragnatos; parapodios del setífero 10 con cirro dorsal más corto que lígula dorsal (Fig. 7F) 4
- 4(3) Área VI con 2 barras; área V con 3 paragnatos en arreglo triangular (Fig. 7B)
..... *P. rookeri* de León-González & Goethel, 2013 (G)
- Área VI con 1 barra; área V con 1–2 paragnatos en arreglo lineal5
- 5(4) Área VII–VIII con menos de 25 paragnatos; paragnatos de áreas V y VI más o menos en línea transversal; cirros tentaculares posterodorsales alcanzan setíferos 8–10
..... *P. floridana* (Ehlers, 1868) (C, G)
- Área VII–VIII con más de 35 paragnatos; paragnatos de áreas V y VI formando un triángulo, cono de área V desplazado hacia enfrente (Fig. 7C); cirros tentaculares posterodorsales alcanzan setíferos 6–7 *P. villalobosi* Rioja, 1947 (P)

- 6(2)** Área VI con 1 barra transversa 7
 – Área VI con 2 barras transversas 9
- 7(6)** Área VII–VIII con 7 conos pequeños en una línea transversa (Fig. 7G)
 *P. bajacalifornica* de León-González & Solís-Weiss, 1998 (P)
 – Área VII–VIII con numerosos paragnatos en dos o tres líneas transversas 8
- 8(7)** Área I con un paragnato robusto; área VII–VIII con paragnatos de región medioventral en hileras de tamaño similar *P. monterea* Chamberlin, 1918 (B, P)
 – Área I con 11–24 paragnatos; área VII–VIII con paragnatos de región medioventral en hileras de tamaño desigual, distal muy corta, con 3–5 conos (Fig. 7H)
 *P. elenacosoae* Rioja, 1947 (C–Q, G–Q, P)
- 9(6)** Área VII–VIII con 8 paragnatos en una línea transversa; área I en arreglo romboidal
 *P. osoriotafalli* de León-González & Solís-Weiss, 1998 (P)
 – Área VII–VIII con 11 o más paragnatos en dos líneas transversas; área I en arreglo triangular o en línea longitudinal 10
- 10(9)** Área I con 2 paragnatos en línea transversa; área III con 7 paragnatos; área V sin paragnatos; falcíferos neuropodiales con lámina corta (Fig. 7E)
 *P. cariboea* de León-González & Solís-Weiss, 1998 (C)
 – Área I con 11 paragnatos en arreglo triangular; área III con 17 paragnatos; área V con 2 paragnatos (Fig. 7I); falcíferos neuropodiales con lámina larga (Fig. 7J)
 *P. mochimaensis* Liñero-Arana, 1983 (C)

Comentarios

- 1) *Perinereis seridentata*, originalmente descrita en *Neanthes* para El Salvador, fue transferida por Dean (2001) a *Perinereis* por presentar una línea transversa de muchos paragnatos en el área VI, también presentes en el complejo de especies '*P. nuntia*'. Sin embargo, la especie no se ajusta a la definición morfológica más reciente del complejo (*vide* Villalobos-Guerrero 2019). La especie se mantiene en *Perinereis* hasta que su posición genérica sea reevaluada.

Platynereis Kinberg, 1865

- 1** Falcíferos notopodiales ausentes a lo largo del cuerpo
 *P. hutchingsae* de León-González, Solís-Weiss & Valadez-Rocha, 2001 (G)
 – Falcíferos notopodiales presentes en setígeros medios y posteriores (Fig. 8^a)
 *P. mucronata* de León-González, Solís-Weiss & Valadez-Rocha, 2001 (C, G)

Pseudonereis Kinberg 1865

- 1** Áreas VII–VIII de la faringe con 40 o más paragnatos arreglados en dos bandas 2
 – Áreas VII–VIII de la faringe con 14 a 24 paragnatos arreglados en una banda 5
- 2(1)** Área V con un cono (Fig. 8D); parapodios posteriores con lígulas dorsales foliosas y cirro dorsal inserto subdistalmente *P. variegata* (Grube & Krøyer *in* Grube, 1858)¹ (P)
 – Área V con más de un cono; parapodios posteriores con lígulas dorsales muy alargadas, con forma de látigo, y cirro dorsal inserto distalmente 3
- 3(2)** Área V con 8–15 paragnatos dispuestos en una hilera irregular (Fig. 8I)
 *P. cortezi* (Kudenov, 1979) (P)
 – Área V con 3–4 paragnatos dispuestos en triángulo (Fig. 8H) 4

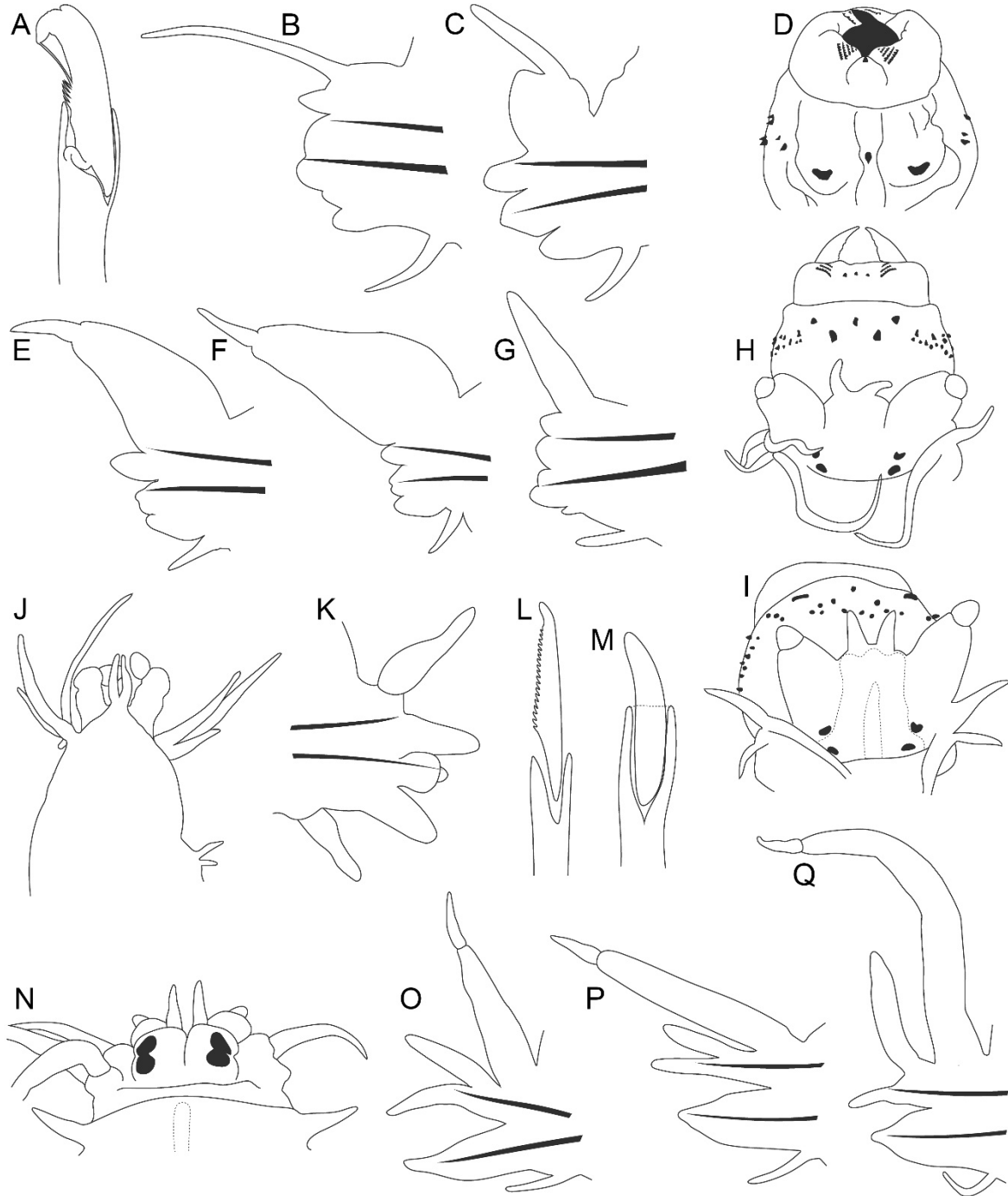


Figura 8. *Platynereis mucronata*: A) Falcigero notopodial en parapodio posterior; *Pseudonereis citrina*: B) Parapodio anterior; *P. deleoni*: C) Parapodio medio; *P. variegata*: D) Extremo anterior; *P. brunnea*: E) Parapodio posterior; *P. gallapagensis*: F) Parapodio posterior; *P. noodti*: G) Parapodio anterior; *P. cortezi*: H) Extremo anterior; *P. pseudonoodti*: I) Extremo anterior; *Rullierinereis profunda*: J) Extremo anterior; *R. bahamensis*: K) Parapodio del setígero 3; *R. mexicana*: L) Falcigero notopodial en parapodio posterior; *R. fauchaldi*: M) Falcigero notopodial en parapodio posterior; *Stenonereis tecolatlensis*: N) Extremo anterior; *S. lackeyi*: O) Parapodio anterior; *S. martini*: P) Parapodio anterior; *S. elisae*: Q) Parapodio anterior. Modificadas de: B), D)–F) Conde-Vela (2018); C) Villalobos-Guerrero & Tovar-Hernández (2013); H), I) Bakken (2007); J) Hartmann-Schröder (1958); K)–L) Pettibone (1971); M) de León-González & Solís-Weiss (2000); N)–Q) Conde-Vela (2019).

- 4(3)** Lóbulo neuropodal superior ausente; láminas de falcíferos heterogonfos delgadas, ahusándose distalmente; acículas negruzcas; paragnatos del anillo oral robustos y negruzcos *P. pseudonoodti* (Fauchald, 1977) (P)
 – Lóbulo neuropodal superior presente; láminas de falcíferos heterogonfos robustas; acículas anaranjado ámbar o pardo pálido; paragnatos del anillo oral estrechos y pardo pálido
 *P. mancorae* (Berkeley & Berkeley, 1961)² (P)
- 5(1)** Parapodios en el setígero 10 con cirros dorsales 2–3 veces más largo que las lígulas dorsales **6**
 – Parapodios en el setígero 10 con cirros dorsales 1–1.5 veces más largo que las lígulas dorsales **7**
- 6(5)** Cirros dorsales en parápodos del setígero 10 subulados (Fig. 8B)
 *P. citrina* Conde-Vela, 2018 (C)
 – Cirros dorsales en parápodos del setígero 10 digitiformes (Fig. 8G)
 *P. noodti* (Hartmann-Schröder, 1962) (P)
- 7(5)** Parapodios en el setígero 30 con lígulas dorsales oblongas y más largas que las lígulas medias (Fig. 8C) *P. deleoni* Villalobos-Guerrero & Tovar-Hernández, 2013 (P)
 – Parapodios en el setígero 30 con lígulas dorsales subcónicas y de tamaño similar a las lígulas medias **8**
- 8(7)** Parapodios en setígeros posteriores con lígulas dorsales 3–4 veces más largas que las lígulas medias (Fig. 8E) *P. brunnea* Conde-Vela, 2018 (C)
 – Parapodios en setígeros posteriores con lígulas dorsales 7–8 veces más largas que las lígulas medias (Fig. 8F) *P. gallapagensis* Kinberg, 1865³ (P)

Comentarios

- 1) La especie fue descrita de Valparaíso, Chile, y considerada circumtropical; sin embargo, los datos recientes de la evidencia morfológica y molecular indican que *P. variegata* pertenece más bien a un grupo de varias especies (Conde-Vela 2018, Kara *et al.* 2018).
- 2) Esta especie de Máncora, Perú, y previamente considerada en *Neanthes* fue transferida a *Pseudonereis* y redescrita recientemente utilizando material tipo (Villalobos-Guerrero & Idris 2020).
- 3) La especie fue descrita de las islas Galápagos, Ecuador, y considerada de amplia distribución, aunque un estudio morfológico reciente de ejemplares ecuatorianos delimitó la morfología de la especie y restringió su distribución a Ecuador, Perú y Chile (Conde-Vela 2018).

Rullierinereis Pettibone, 1971

- 1** Ojos ausentes (Fig. 8J) *R. profunda* (Hartman, 1965) (C)
 – Ojos presentes **2**
- 2 (1)** Parapodios del setígero 3 sin lígulas dorsales (Fig. 8K)
 *R. bahamensis* (Hartmann-Schröder, 1958) (C)
 – Parapodios del setígero 3 con lígulas dorsales **3**
- 3 (2)** Falcíferos notopodiales en setígeros posteriores con láminas dentadas (Fig. 8L)
 *R. mexicana* (Treadwell, 1942) (C)
 – Falcíferos notopodiales en setígeros posteriores con láminas lisas (Fig. 8M)
 *R. fauchaldi* de León-González & Solís-Weiss, 2000 (B)

Stenoninereis Wesenberg-Lund, 1958

- 1 Ojos grandes, cubriendo casi la mitad del prostomio (Fig. 8N)
 *S. tecolutlensis* de León-González & Solís-Weiss, 1997 (G)
 – Ojos pequeños, cubriendo menos de la mitad del prostomio..... 2
- 2 (1) Cirros dorsales en setígeros anteriores con cirróforos de tamaño similar que las lígulas ventrales (Fig. 8O) *S. lackeyi* (Hartman, 1958) (G)
 – Cirros dorsales en setígeros anteriores con cirróforos al menos dos veces más grandes que las lígulas ventrales 3
- 3 (2) Cirros dorsales en setígeros anteriores con cirróforos 2–3 veces más grandes que los cirrostilos (Fig. 8P)..... *S. martini* Wesenberg-Lund, 1958 (C)
 – Cirros dorsales en setígeros anteriores con cirróforos 5–6 veces más grandes que los cirrostilos (Fig. 8Q) *S. elisae* Conde-Vela, 2019 (C)

Agradecimientos

La revisión detallada de este capítulo por Cynthia S. G. Santos (Universidade Federal Fluminense, Brasil) y Catalina Arteaga-Florez (INVEMAR, Colombia) mejoró notablemente la calidad del escrito. Esta edición se realizó con el respaldo parcial del proyecto “Evaluación de poliquetos exóticos invasores en marinas y puertos de México” financiado por el Fondo Sectorial de Investigación Ambiental de SEMARNAT-CONACYT (A3-S-73811). TFGV agradece al CONACYT por haber otorgado el Apoyo para Estancias Posdoctorales en el Extranjero (513943).

Referencias

- Ackermann C, Dorresteijn A & Fischer A 2005 Clonal domains in postlarval *Platynereis dumerilii* (Annelida: Polychaeta). *J Morph* 266: 258–280.
- Alves PR & Santos CSG 2016 Description of a new species of *Namalycastis* (Annelida: Nereididae: Namanereidinae) from the Brazilian coast with a phylogeny of the genus. *Zootaxa* 4144(4): 499–514.
- Alves PR, Glasby CJ & Santos CSG 2018 On the use of troglomorphic characters in Namanereidinae (Annelida: Nereididae) systematics. *Zootaxa* 4531: 195–210.
- Augener H 1922 Revision der australischen Polychaeten-Typen von Kinberg. *Ark Zool* 14: 1–42.
- Bakken T 2006 Redescription of two species of *Neanthes* (Polychaeta: Nereididae) possessing a large notopodial prechaetal lobe. *Sci Mar* 70(S3): 27–33.
- Bakken T 2007 Revision of *Pseudonereis* (Polychaeta, Nereididae). *Zool J Linn Soc Lond* 150: 145–176.
- Bakken T & Wilson RS 2005 Phylogeny of nereidids (Polychaeta, Nereididae) with paragnaths. *Zool Scr* 34: 507–547.
- Bakken T, CJ Glasby & Wilson RS 2009 A review of paragnath morphology in Nereididae (Polychaeta). *Zoosymposia* 2: 305–316.
- Banse K 1977a A new subfamily, Notophycinae (Polychaeta: Nereididae), for *Micronereis* Claparède and *Quadricirra* new genus. In DJ Reish & K Fauchald (eds) *Essays on the polychaetous annelids in memory of Dr Olga Hartman*. Allan Hancock Found, pp: 115–140.
- Banse K 1977b Gymnonereidinae new subfamily: The Nereididae (Polychaeta) with bifid parapodial neurocirri. *J Nat Hist* 11: 609–628.
- Bastida-Zavala JR 1991 *Lycastopsis riojai*, a new species of polychaete (Polychaeta: Nereididae) from the Gulf of California. *Rev Biol Trop* 38(2B): 415–420.
- Berkeley E & Berkeley C 1958 Some notes on a collection of Polychaeta from the northeast Pacific south of latitude 32° N. *Can J Zool* 36: 399–407.
- Berkeley E & Berkeley C 1960 Notes on some Polychaeta from the West Coast of Mexico, Panama, and California. *Can J Zool* 38: 357–362.
- Berkeley E & Berkeley C 1961 Notes on Polychaeta from California to Peru. *Can J Zool* 39: 655–664.
- Blake, J.A. 1985. Polychaeta from the vicinity of deep-sea geothermal vents in the eastern Pacific. I: Euphrosinidae, Phyllodocidae, Hesionidae, Nereididae, Glyceridae, Dorvilleidae, Orbiniidae and Maldanidae. *Bull Biol Soc Wash* 6: 67–101.
- Chamberlin RV 1919 The Annelida Polychaeta [Albatross Expeditions]. *Mem Mus Comp Zool Harv Coll* 48: 1–514.
- Chambers S & Garwood P 1992 Polychaetes from Scottish waters. A guide to identification: Part 3 Family Nereididae. National Museums of Scotland: Edinburgh. 64 pp.
- Clark RB 1961 The origin and formation of the heteronereis. *Biol Rev* 36(2): 199–236.
- Conde-Vela VM 2013 *Namalycastis occulta* n. sp. and a new record of *N. borealis* (Polychaeta: Nereididae: Namanereidinae) from the Northwestern Caribbean Sea. *Zootaxa* 3721: 475–487.

- Conde-Vela VM 2017 The troglomorphic adaptations of Namanereidinae (Annelida, Nereididae) revisited, including a redescription of *Namanereis cavernicola* (Solís-Weiss y Espinasa, 1991), and a new Caribbean species of *Namanereis* Chamberlin, 1919. *Subterr Biol* 23: 19–28.
- Conde-Vela VM 2018 New species of *Pseudonereis* Kinberg, 1865 (Polychaeta: Nereididae) from the Atlantic Ocean, and a review of paragnath morphology and methodology. *Zootaxa* 4471: 245–278.
- Conde-Vela VM 2019a Re-evaluation of the morphology of the monotypic genera *Lycastonereis* Rao, 1981 and *Ganganereis* Misra, 1999 (Annelida, Phyllodocida, Nereididae). *Zootaxa* 4567: 450–460.
- Conde-Vela VM 2019b Sinkhole and brackish water nereidid polychaetes: Revision of *Stenoninereis* Wesenberg-Lund, 1958 (Annelida). *Subterr Biol* 30:95–115.
- Conde-Vela VM & Salazar-Vallejo SI 2015 Redescriptions of *Nereis oligohalina* (Rioja, 1946) and *N. garwoodi* González-Escalante & Salazar-Vallejo, 2003 and description of *N. confusa* sp. n. (Annelida, Nereididae). *ZooKeys* 518: 15–49.
- Conde-Vela VM & Wu X 2019 Revision of *Sinonereis* Wu y Sun, 1979 (Annelida: Nereididae). *Zoosystema* 41(9): 153–161.
- Conde-Vela VM, Wu X & Salazar-Vallejo SI 2018 Reevaluation and new species of *Kainonereis* Chamberlin, 1919 (Annelida: Polychaeta: Nereididae). *Zool Stud* 57: 1–24.
- Corrêa DD 1948 A polychaete from the Amazon region. *Fac Fil Cienc Letr Univ Sao Paulo* 13: 245–257.
- Dahlgren TG, Lundberg J, Pleijel F & Sundberg P 2000 Morphological and molecular evidence of the phylogeny of Nereidiform polychaetes (Annelida). *J Zool Syst Evol Res* 38: 249–253.
- Davenport J, Glasby CJ & Karlen DJ 2020 Redescription of *Neanthes micromma* Harper, 1979 (Annelida: Nereididae) based on types and additional material from Tampa Bay, Florida, USA, with a discussion of ontogenetic morphological variation. *Zoosymposia* 19: 135–150.
- Day JH 1967 A Monograph on the Polychaeta of Southern Africa. *Brit Mus (Nat Hist) Publ* 656: 38, 878 pp.
- de Blainville H 1818 Mémoire sur la classe des Sétipodes partie des Vers à sang rouge de M. Cuvier, et des Annélides de M. de Lamarck. *Bull Sci Soc Philom Paris* 1818: 78–85.
- de Jesús-Flores C, Salazar-González A & Salazar-Vallejo SI 2016 Morphological distinction between estuarine polychaetes: *Laeonereis culveri* and *L. nota* (Phyllodocida: Nereididae). *Rev Biol Trop* 64(1): 205–217.
- de León-González JA 1997 Poliquetos de la familia Nereidae (Annelida: Polychaeta) de los litorales Mexicanos: Sistemática, Biogeografía y Alimentación. Departamento de Postgrado de la Facultad de Ciencias Biológicas, Universidad Autónoma de Nuevo León. Facultad de Ciencias Biológicas, U. A. N. L. 298 pp.
- de León-González JA 2009 Nereididae Lamarck, 1818. pp 325–354. *In* Poliquetos (Annelida: Polychaeta) de México y América Tropical. de León-González JA, JR Bastida-Zavala, LF Carrera-Parra, ME García-Garza, A Peña-Rivera, SI Salazar-Vallejo & V Solís-Weiss (eds), Universidad Autónoma de Nuevo León, Monterrey, México.
- de León-González JA & Díaz-Castañeda V 1998 Two new species of *Nereis* (Polychaeta: Nereididae) from Todos Santos Bay, Ensenada, Baja California, México. *Proc Biol Soc Wash* 111: 823–828.
- de León-González JA & Goethel C 2013. A new species of *Perinereis* (Polychaeta, Nereididae) from Florida, USA, with a key to all *Perinereis* from the American continent. *ZooKeys* 312: 1–11.
- de León-González JA & Góngora-Garza G 1992 Soft-bottom polychaetes from the western coast of Baja California Sur, México. 3. A new species of *Ceratocephale*. *Cah Biol Mar* 33: 417–424.
- de León-González JA & Solís-Weiss V 1997 A new species of *Stenoninereis* (Polychaeta: Nereididae) from the Gulf of Mexico. *Proc Biol Soc Wash* 110: 198–202.
- de León-González JA & Solís-Weiss V 1998 The genus *Perinereis* (Polychaeta: Nereididae) from Mexican littoral waters, including the description of three new species and the redescriptions of *P. anderssoni* and *P. elenacasoae*. *Proc Biol Soc Wash* 111: 674–693.
- de León-González JA & Solís-Weiss V 2000 A review of the polychaete family Nereididae from Western Mexico. *Bull Mar Sci* 67: 549–569
- de León-González JA & Solís-Weiss V 2001 Two new species of *Nereis* (Polychaeta: Nereididae) from the Mexican Pacific. *Proc Biol Soc Wash* 114: 881–886.
- de León-González JA & Balart EF 2016 A new species of *Websterinereis* from the Gulf of California and redescription of *Websterinereis foli* (Fauvel, 1930) (Annelida, Nereididae). *ZooKeys* 614: 15–26.
- de León-González JA, Méndez N & Navedo JG 2018 *Laeonereis watsoni* (Annelida, Nereididae), a new species from western Mexico. *J Mar Biol Ass UK* 9(6): 1347–1353.
- de León-González JA, Solís-Weiss V & Ochoa-Rivera V 1999 Nereidids (Polychaeta) from the Caribbean Sea and adjacent coral islands of the southern Gulf of Mexico. *Proc Biol Soc Wash* 112: 667–681.
- de León-González JA, Solís-Weiss V & Valadez-Rocha V 2001 Two new species of *Platynereis* (Polychaeta: Nereididae) from eastern Mexican shores. *Proc Biol Soc Wash* 114: 389–395.
- Dean HK 2001 Some Nereididae (Annelida: Polychaeta) from the Pacific Coast of Costa Rica. *Rev Biol Trop* 49: 37–67.
- Ehlers E 1887 Reports on the results of dredging, under the direction of L. F. Pourtalès, during the years 1868–1870, and the Alexander Agassiz, in the Gulf of Mexico (1877–78) and in the Caribbean Sea (1878–79), in the U.S. Coast Survey Steamer “Blake”. XXI.

- Report on the annelids. Mem Mus Comp Zool Harv Coll 15: 1–335.
- Ehlers E 1897 Polychaeten. Ergebnisse der Hamburger Magalhaensischen Sammelreise 1892/93. 3: 1–148.
- Fauchald K 1972 Benthic polychaetous annelids from deep waters off Western Mexico and adjacent areas in the Eastern Pacific Ocean. Allan Hancock Monogr Mar Biol 7: 1–575.
- Fauchald K 1977 Polychaetes from intertidal areas in Panama, with a review of previous shallow-water records. Smithson Contr Zool 221: 1–81.
- Fauvel P 1923 Polychètes errantes. Faune de France 5: 1–488.
- Fauvel P 1953 The Fauna of India including Pakistan, Ceylon, Burma and Malaya. Annelida Polychaeta. Indian Press, Allahabad, 507 pp.
- Fitzhugh K 1987 Phylogenetic relationships within the Nereididae (Polychaeta): implications at the subfamily level. Bull Biol Soc Wash 7: 174–183.
- Fischer AHL, Henrich T & Arendt D 2010 The normal development of *Platynereis dumerilii* (Nereididae, Annelida). Front Zool 7: 1–39.
- Glasby CJ 1991 Phylogenetic relationship in the Nereididae (Annelida: Polychaeta), chiefly in the subfamily Gymnonereidinae, and the monophyly of the Namanereidinae. Bull Mar Sci 48: 559–573.
- Glasby CJ 1999 The Namanereidinae (Polychaeta: Nereididae), 1. Taxonomy and phylogeny, 2. Cladistic biogeography. Rec Austr Mus Suppl 25: 1–129.
- González-Escalante LE & Salazar-Vallejo 2003 SI A new estuarine species, *Nereis garwoodi* (Polychaeta: Nereididae), from Bahía Chetumal, Mexican Caribbean coast. Rev Biol Trop 51(1): 155–164.
- Gravier C 1901 Sur deux nouvelles espèces du genre *Lycastis* Savigny, Aud. et Edw. Rev. de la Guyane française. Bull Mus Hist Nat Paris 7: 397–402.
- Gravina MF, Lezzi M, Bonifazi A & Giangrande A 2015 The genus *Nereis* L., 1758 (Polychaeta, Nereididae): state of the art for identification of Mediterranean species. At Soc Tosc Sc Nat Mem (serie B), 122: 147–164.
- Hartman O 1938 Annotated list of the types of polychaetous annelids in the Museum of Comparative Zoology. Bull Mus Comp Zool Harvard Col 85: 1–31.
- Hartman O 1939. The polychaetous annelids collected on the Presidential Cruise of 1938. Smithson Misc Coll 98(13): 1–22.
- Hartman O 1940 Polychaetous annelids, 2. Chrysopetalidae to Goniadidae. Allan Hancock Pac Exped 7(3): 173–287.
- Hartman O 1948 The marine annelids erected by Kinberg with notes on some other types in the Swedish State Museum. Ark Zool 42A(1): 1–137.
- Hartman O 1952. *Iphitime* and *Ceratocephala* (polychaetous annelids) from California. Bull So Calif Acad Sci 51(1): 9–20.
- Hartman O 1954 Australian Nereididae, including descriptions of three new species and one genus, together with summaries of previous records and keys to species. Trans R Soc S Austr 77: 1–41.
- Hartman O 1959a Catalogue of the Polychaetous Annelids of the World, Pt. 1. Allan Hancock Occ Pap. 23: 1–353.
- Hartman O 1959b Capitellidae and Nereidae (marine annelids) from the Gulf side of Florida, with a review of freshwater Nereidae. Bull Mar Sci 9(2): 153–168.
- Hartman O 1963 Submarine canyons of Southern California, 3. Systematics: Polychaetes. Allan Hancock Pac Exped 27(3): 1–93.
- Hartman O 1968 Atlas of the errantiate polychaetous annelids from California. Allan Hancock Foundation, University of Southern California. Los Angeles. 828 pp.
- Hartmann-Schröder G 1958 Einige Polychaeten aus dem Küstengrundwasser der Bimini-Inseln (Bahamas). Kiel Meeresforsch 14: 233–240.
- Hartmann-Schröder G 1977 The genera *Ceratocephale* Malmgren, *Olganereis* n. gen., and *Profundilycastis* n. gen. (Nereidae, Polychaeta) with a key to the nereid genera without chitinous paragnaths. In: Reish DJ y Fauchald K (eds), Essays on the polychaetous annelids in memory of Dr. Olga Hartman. Allan Hancock Foundation, Univ South Cal, pp: 141–155.
- Hartmann-Schröder G 1985 Revision der Gattung *Ceratonereis* Kinberg (Nereididae, Polychaeta) (Mit besonderer Berücksichtigung der Arten mit eingeschnittenem Prostomium). Mitt Hamb Zool Mus Inst 82: 37–59.
- Hartmann-Schröder G 1996 Annelida, Borstenwürmer, Polychaeta. 2nd ed, 58. Gustav Fischer: Jena. 648 pp.
- Horst R 1924 Polychaeta Errantia of the Siboga-Expedition. Pt. 3. Nereidae and Hesionidae. Siboga-Exped Leyden 99 (Monogr. 24 Ic): 145–198.
- Hutchings P & Reid A 1990 The Nereididae (Polychaeta) from Australia – Gymnonereidinae sensu Fitzhugh 1987: *Australonereis*, *Ceratocephale*, *Dendronereides*, *Gymnonereis*, *Nicon*, *Olganereis* and *Websterinereis*. Rec Austral Mus 42: 69–100.
- Hutchings P, A Reid & Wilson R 1991 *Perinereis* (Polychaeta, Nereididae) from Australia, with redescription of six additional species. Rec Austr Mus 43: 241–274.
- Hylleberg J & Nateewathana A 1988 Polychaetes from Thailand, Nereididae (part 2): *Ceratocephale* and *Gymnonereis*, with description of two new species and notes on the subfamily Gymnonereidinae. Phuket Mar Biol Center Res Bull 49: 1–20.
- Hylleberg J, A Nateewathana & Bussarawit S 1986 Polychaetes from Thailand, Nereidae (Part 1): *Perinereis* and *Pseudonereis* with notes on species of commercial value. Phuket Mar Biol Center Res Bull 43: 1–22.
- International Commission on Zoological Nomenclature. 1999. International code of zoological nomenclature. 4th ed. International Trust for Zoological Nomenclature (The Natural History Museum): London. 306 pp.
- Imajima M 1972 Review of the annelid worms of the family Nereidae of Japan, with description of five new species or subspecies. Bull Natl Sci Mus 15(1): 37–153.

- Johnson HP 1901 The Polychaeta of the Puget Sound region. Proc Bost Soc Nat Hist 29(18): 381–437.
- Johnson HP 1903 Fresh-water nereids from the Pacific coast and Hawaii, with remarks on fresh-water Polychaeta in general. In Mark Anniversary Volume. To Edward Laurens Mark, Hersey professor of anatomy and director of the zoological laboratory at Harvard University, in celebration of twenty-five years of successful work for the advancement of zoology from his former students, 1877–1902. Henry Holt y Co New York, pp: 205–222.
- Johnston G 1865 A catalogue of the British non-parasitical worms in the collection of the British Museum. British Museum. London, 365 pp.
- Jumars PA, KM Dorgan & Lindsay SM 2015 Diet of worms emended: An update of polychaete feeding guilds. Annu Rev Mar Sci 7(1): 497–520.
- Kara J, Macdonlad AHH & Simon CA 2018 Integrative taxonomic methods reveal an incorrect synonymisation of the South African *Pseudonereis podocirra* (Schmarda) as the widespread *Pseudonereis variegata* (Grube) from Chile. Invertebrate Systematics 32: 1282–1297.
- Khlebovich VV 1996 Fauna of Russia and neighboring countries. Polychaetous Annelids, Volume III. Polychaetes of the family Nereididae of the Russian seas and the adjacent waters. Proceedings ZIN 140: 1–221. [en ruso]
- Kudenov JD 1973 Annelida (Polychaeta). In A Handbook to the Gulf of California. Univ Arizona Press 76–131.
- Kudenov JD 1975 Errant polychaetes from the Gulf of California. J Nat Hist 9: 65–91.
- Kudenov JD 1979 New species and records of polychaetous annelids from the *Tetraclita* (Cirripedia: Crustacea) zone of the Northern Gulf of California. Bull S Calif Acad Sci 78(2): 116–121.
- Kudenov JD 1980 Annelida: Polychaeta (Bristleworms). In Common Intertidal invertebrates of the Gulf of California. Univ Arizona Press, pp: 77–123.
- Lamarck JB 1818. Histoire naturelle des Animaux sans Vertèbres, présentant les caractères généraux et particuliers de ces animaux, leur distribution, leurs classes, leurs familles, leurs genres, et la citation des principales espèces qui s'y rapportent; précédés d'une Introduction offrant la détermination des caractères essentiels de l'Animal, sa distinction du végétal et des autres corps naturels, enfin, l'Exposition des Principes fondamentaux de la Zoologie. Deterville: Paris, volume 5. 612 pp.
- Linnaeus C 1761 Fauna Suecica sistens Animalia Sueciae Regni: Distributa per Classes, Ordines, Genera, Species, cum Differentiis Specierum, Synonymis Auctorum, Nominibus Incolarum, Locis Natalium, Descriptionibus insectorum. Editio altera, auctior. Stockholmiae, Stockholm, Sweden 48: 1–578.
- Liñero-Arana I 1983 Dos nuevas especies de Nereididae (Polychaeta: Errantia) de la costa oriental de Venezuela. Bol Inst Oceanogr Ven 22: 3–6.
- Núñez J 2004 Familia Nereididae Savigny, 1822. Fauna Ibérica 25: 293–390.
- Olive, PJW, Fletcher J, Rees SW & Desrosiers G (1997) Interactions of environmental temperature with photoperiod in determining age at maturity in a semelparous polychaete *Nereis (Neanthes) virens* Sars. J Therm Biol 22(6): 489–497.
- Paxton H 1983 Revision of the genus *Micronereis* (Polychaeta: Nereididae: Notophycinae). Rec Austr Mus 35: 1–18.
- Perkins TH 1980 Review of species previously referred to *Ceratonereis mirabilis*, and descriptions of new species of *Ceratonereis*, *Nephtys*, and *Goniada*. Proc Biol Soc Wash 93(1): 1–49.
- Pettibone MH 1956 Some polychaete worms of the families Hesionidae, Syllidae, and Nereidae from the east coast of North America, West Indies, and Gulf of Mexico. J Wash Acad Sci 46: 281–294.
- Pettibone MH 1971 Revision of some species referred to *Leptonereis*, *Nicon*, and *Laonereis* (Polychaeta: Nereididae). Smithson Contr Zool 104: 1–53.
- Planas AO, Tejada AL & Campos CG 2013 Epibiontes en las raíces de *Rhizophora* spp. en el manglar Barra de Santiago, Departamento de Ahuachapán, El Salvador. Puente Biológico 5: 11–49.
- Qiu J-W & Qian P-Y 2000 Revision of the genus *Leonnates* Kinberg, 1866 (Polychaeta: Nereididae), with descriptions and comments on other species described in *Leonnates*. Proc Biol Soc Wash 113: 1111–1146.
- Ramírez-Hernández A, Hernández-Alcántara P & Solís-Weiss V 2015 *Nereis alacranensis*, a new species of polychaete (Annelida, Nereididae) from Alacranes Reef, southern Gulf of Mexico, with a key to *Nereis* from the Grand Caribbean. Zootaxa 4012(1): 156–166.
- Read G 2016 World Polychaeta database. *Spio caudatus* Lamarck, 1818. Consultado el 15 de agosto de 2019 en: World Register of Marine Species: <http://www.marinespecies.org/aphia.php?p=taxdata&ilsid=338190>
- Reish DJ 1954 Nomenclatural changes and redescription of two nereids (Annelida, Polychaeta) from the eastern Pacific. Bull South Cal Acad Sci 53(2): 99–106.
- Rioja E 1941 Estudios anelidológicos, 3. Datos para el conocimiento de la fauna de poliquetos de las costas mexicanas del Pacífico. An Inst Biol 12: 669–746.
- Rioja E 1946a Estudios anelidológicos, 14. Observaciones sobre algunos poliquetos de las costas del Golfo de México. An Inst Biol 17: 193–203.
- Rioja E 1946b Estudios anelidológicos, 15. Nereidos de agua salobre de los esteros del litoral del Golfo de México. An Inst Biol 17: 205–214.
- Rioja E 1947a Estudios anelidológicos, 16. Observaciones sobre algunos nereidos de las costas de México. An Inst Biol 18: 527–535.
- Rioja E 1947b Estudios anelidológicos, 18. Contribución al conocimiento de los anélidos poliquetos de Baja California y Mar de Cortés. An Inst Biol 18: 197–224.
- Rioja E 1958 Estudios anelidológicos, 22. Datos para el conocimiento de la fauna de anélidos poliquetos de las costas orientales de México. An Inst Biol 29: 219–301.

- Rioja E 1960 Estudios anelidológicos, 24. Adiciones a la fauna de anélidos poliquetos de las costas orientales de México. *An Inst Biol* 31: 289–316.
- Rioja E 1963 Estudios anelidológicos, 26. Algunos anélidos poliquetos de las costas del Pacífico de México. *An Inst Biol* 33: 131–229.
- Rozbaczylo N & Bolados J 1980. Nereidos de Iquique, Chile (Polychaeta: Nereidae). *Bol Mus Nac Hist Nat Chile* 37: 205–224.
- Rozbaczylo N & Castilla JC 1973 El género *Perinereis* (Annelida, Polychaeta, Nereidae) en Chile. *Stud Neotrop Fauna* 8: 215–232.
- Salazar-Vallejo SI 1996 Lista de especies y bibliografía de poliquetos (Polychaeta) del Gran Caribe. *An. Inst. de Biol. UNAM* 67(1): 11–50.
- Salazar-Vallejo SI & Jiménez-Cueto MS 1997 Neréidos (Polychaeta) del Caribe mexicano con una clave para las especies del Gran Caribe. *Rev Biol Trop* 44/45: 361–377.
- Salazar-Vallejo SI & Londoño-Mesa MH 2004 Lista de especies y bibliografía de poliquetos (Polychaeta) del Pacífico Oriental Tropical. *An Inst Biol UNAM, Serie Zoología* 75: 9–97.
- Salazar-Vallejo SI, Gillet P & Surugiu V 2017 How false is *Nereis falsa* (Annelida, Phyllodocida, Nereididae)? *Rev Biol Trop* 65(3): 847–857.
- Santos CSG, Pleijel F, Lana P & Rouse GW 2005 Phylogenetic relationships within Nereididae (Annelida: Phyllodocida). *Inverteb Syst* 19(6): 557–576.
- Sato M 2013 Resurrection of the genus *Nectoneanthes* Imajima, 1972 (Nereididae: Polychaeta), with redescription of *Nectoneanthes oxypoda* (Marenzeller, 1879) and description of a new species, comparing them to *Neanthes succinea* (Leuckart, 1847). *J Nat Hist* 47(1–2): 1–50.
- Sato M & Nakashima A 2003 A review of Asian *Hediste* species complex (Nereididae, Polychaeta) with descriptions of two new species and a redescription of *Hediste japonica* (Izuka, 1908). *Zool J Linn Soc* 137: 403–445.
- Solís-Weiss V & Espinasa L 1991 *Lycastilla cavernicola*, a new freshwater nereidid from an inland mexican cave (Polychaeta: Nereididae: Namanereidinae). *Proc Biol Soc Wash* 104: 631–639.
- Starunov VV, Dray N, Belikova EV, Kerner P, Vervoort M & Balavoine G 2015 A metameric origin for the annelid pygidium? *BMC Evo Biol* 15: 1–17.
- Treadwell AL 1914 Polychaetous annelids of the Pacific coast in the collection of the Zoological Museum of the University of California. *Univ Calif Publ Zool* 13(8): 175–234.
- Treadwell AL 1923 Polychaetous annelids from Lower California with descriptions of new species. *Amer Mus Novit* 74: 1–11.
- Treadwell AL 1929 New species of polychaetous annelids in the collection of the American Museum of Natural History, from Porto Rico, Florida, Lower California, and British Somaliland. *Amer Mus Novit* 392: 1–13.
- Treadwell AL 1937 The Templeton Crocker Expedition, 8. Polychaetous annelids from the West Coast of Lower California, the Gulf of California and Clarion Island. *Zoologica NY Zool Soc* 22(9): 139–60.
- Treadwell AL 1942 Polychaetous Annelids from Lower California and the Philippine Island in the collections of the American Museum of Natural History. *Amer Mus Novit* 1172: 1–5.
- Villalobos-Guerrero TF 2012 Ficha técnica y análisis de riesgo de *Alitta succinea* (Leuckart in Frey & Leuckart, 1847) (Polychaeta: Nereididae). *In* *Invertebrados marinos exóticos en el Pacífico mexicano*. AM Low-Pfeng & EM Peters-Recagno (eds). Geomare, A.C., INE-Semarnat, México, D.F., pp: 131–165.
- Villalobos-Guerrero TF 2019 Redescription of two overlooked species of the *Perinereis nuntia* complex and morphological delimitation of *P. nuntia* (Savigny in Lamarck, 1818) from the Red Sea (Annelida, Nereididae). *Zoosystema* 41(24): 465–496.
- Villalobos-Guerrero TF & Idris I 2020 Redescriptions of a neglected species of *Pseudonereis* Kinberg, 1865 (Annelida: Nereididae) and its resembling congener from the Eastern Tropical Pacific. *J Nat Hist* 54(23-24): 1559–1580.
- Villalobos-Guerrero TF & Tovar-Hernández MA 2013 Una especie nueva de *Pseudonereis* (Polychaeta: Nereididae) de Mazatlán, golfo de California, incluyendo una clave para las especies del mundo. *Rev Mex Biodivers* 84: 774–781.
- Villalobos-Guerrero TF & Tovar-Hernández MA 2014 Poliquetos errantes (Polychaeta: Errantia) esclerobiontes del puerto de Mazatlán, Sinaloa (México). *Bol Inv Mar Cost* 43: 43–87.
- Villalobos-Guerrero TF & Bakken T 2018 Revision of the *Alitta virens* species complex (Annelida: Nereididae) from the North Pacific Ocean. *Zootaxa* 4483: 201–257.
- Villalobos-Guerrero TF & Carrera-Parra LF 2015 Redescription of *Alitta succinea* (Leuckart, 1847) and reinstatement of *A. acutifolia* (Ehlers, 1901) n. comb. based upon morphological and molecular data (Polychaeta: Nereididae). *Zootaxa* 3919: 157–178.
- Westheide W 1977 Interstitielle Fauna von Galapagos. XVIII. Nereidae, Eunicidae, Dorvilleidae (Polychaeta). *Mikrofauna Meeresboden* 63: 1–40.
- Wilson RS & Glasby CJ 1993 A revision of the *Perinereis nuntia* species group (Polychaeta: Nereididae). *Rec Austr Mus* 45: 253–277.
- Wu B, Sun R & Yang DJ 1985 The Nereidae (Polychaetous Annelids) of the Chinese coast. *China Ocean Press: Beijing*, 234 pp.

Tabla de registros cuestionables

Las especies cuyos registros en América tropical son cuestionables se indican en la tabla con notas cortas sobre la evaluación de su estatus en la región. Los nombres de las cuatro regiones serán abreviados siguiendo los mismos códigos establecidos para las claves. Se indicará "no aplica" (NA) en el caso de que no existan registros en América tropical, pero que fueron considerados en la contribución anterior (de León-González 2009).

Taxón	Reportes	Comentarios
<i>Alitta brandti</i> Malmgren, 1865	NA	Localidad tipo: Noroeste del mar de Okhotsk, Rusia. Redescrita recientemente con material tipo; varias especies similares del Pacífico fueron restablecidas, aunque todas son de aguas templadas (Villalobos-Guerrero & Bakken 2018).
<i>Alitta succinea</i> (Leuckart, 1847)	B, C, G, P	Localidad tipo: Helgoland, Alemania. Redescrita con material tipo, y restringida al Noratlántico europeo (Villalobos-Guerrero & Carrera-Parra 2015). La especie había sido considerada como especie exótica en el Pacífico mexicano (Villalobos-Guerrero 2012); sin embargo, los registros pertenecen a <i>A. acutifolia</i> . Aquellos registros en el C y G corresponden a una especie nueva.
<i>Ceratonereis excisa</i> (Grube, 1874)	C	Localidad tipo: Sur de Brasil. Redescrita con material tipo, y restringida a la región de la localidad tipo (Perkins 1980). Registros para el Mar Caribe (Salazar-Vallejo 1996) posiblemente correspondan a otra especie.
<i>Ceratonereis mirabilis</i> Kinberg, 1865	C, G, P	Localidad tipo: Noreste de Brasil. Redescrita con material tipo y otros no tipos (Perkins 1980). La especie es exclusiva del Atlántico tropical (Hartmann-Schröder 1985), y no está en el Pacífico tropical. Es posible que más de una especie esté inmiscuida tanto en los registros del C, G y P.
<i>Ceratonereis singularis</i> Treadwell, 1929	C, G	Localidad tipo: Isla San José, Golfo de California. Redescrita con material tipo y otros no tipos del Pacífico y Atlántico (Perkins 1980). Los ejemplares de ambas costas presentan diferencias claras, aunque fueron considerados la misma especie (Perkins 1980, Hartmann-Schröder 1985). Probablemente, la especie es exclusiva del P, mientras que los registros en el C y G constituyen otra especie.
<i>Ceratonereis tentaculata</i> Kinberg, 1865	P	Localidad tipo: Honolulu, Hawái. Redescrita con material tipo, y restringida a la región de la localidad tipo y Japón (Perkins 1980). Registros posiblemente correspondan a otras especies (Hartmann-Schröder 1985).
<i>Cheilonereis cyclurus</i> (Harrington, 1897)	P	Localidad tipo: Washington, Sonda de Puget, EUA. Comensal de cangrejos ermitaños, presente en ambas costas templadas del Pacífico norte. Aquellos registrados en el P fueron ejemplares en vida libre, y no fueron descritos. Podrían tratarse de otro género y especie.
<i>Composetia costae</i> (Grube, 1840)	C, G, P	Localidad tipo: Mar Tirreno, Italia. Requiere una revisión para delimitar su morfología. Fue descrita brevemente y sin ilustraciones, o bien, caracterizada más tarde utilizando ejemplares lejanos a la localidad tipo. Registros en América tropical, como <i>Ceratonereis</i> , posiblemente correspondan a otras especies.
<i>Composetia hircinicola</i> (Eisig, 1870)	C	Localidad tipo: Palma de Mallorca, mar Balear, España. Redescrita utilizando material ibérico (Núñez 2004). Registro para C, como <i>Ceratonereis</i> , no incluye caracteres críticos ni ilustraciones que ayuden a confirmar su presencia. Se considera cuestionable en la región.

Taxón	Reportes	Comentarios
<i>Composetia irritabilis</i> (Webster, 1879)	P, C	Localidad tipo: Virginia, EUA. Redescrita utilizando material tipo (Bakken & Wilson 2005). Registros en América tropical, como <i>Ceratonereis</i> , no incluyeron descripciones o ilustraciones. No es posible confirmar su presencia. Se considera cuestionable en ambas regiones.
<i>Composetia paucidentata</i> (Moore, 1903)	P	Localidad tipo: Islas Aleutianas, mar de Bering. Descrita adecuadamente con un sólo ejemplar, y con pocas ilustraciones. El registro en el P, como <i>Ceratonereis</i> , no incluye caracteres ni ilustraciones que ayuden a confirmar su presencia. Se considera cuestionable en la región.
<i>Composetia tunicatae</i> (Hartman, 1936)	NA	Localidad tipo: Norte de California, EUA. Descrita brevemente. Conocida sólo para la localidad tipo, viviendo en ascidias. No existen registros para América tropical.
<i>Eunereis longipes</i> (Hartman, 1936)	NA	Localidad tipo: Norte de California, EUA. Descrita brevemente utilizando un sólo ejemplar epítoco. Conocida sólo para la localidad tipo. No existen registros para América tropical.
<i>Gymnonereis crosslandi</i> (Monro, 1933)	P, C, G	Localidad tipo: Isla Gorgona, Pacífico colombiano. La sinonimia de <i>Ceratocephale crosslandi americana</i> Hartman, 1952 con esta especie aumenta su rango de distribución hasta el Pacífico mexicano. Los registros para el C y G posiblemente correspondan a una especie indescrita.
<i>Kainonereis alata</i> Chamberlin, 1919	P	Localidad tipo: Kiribati. Género y especie redescritos y restablecidos recientemente; el registro del Golfo de California posiblemente corresponda a <i>K. peltifera</i> (Conde-Vela <i>et al.</i> 2018).
<i>Kinberginereis inermis</i> Hoagland, 1920	NA	Localidad tipo: Filipinas. Género monoespecífico. No existen registros del género y especie en América tropical.
<i>Laeonereis culveri</i> (Webster, 1879)	C, G, P	Localidad tipo: Carolina del Norte, EUA. Redescrita utilizando material topotipo (de Jesús-Flores <i>et al.</i> 2016). Registros para G y C corresponden a <i>L. nota</i> (Treadwell, 1941). Registro para P no incluye caracteres críticos ni ilustraciones que ayuden a confirmar su presencia.
<i>Leonnates decipiens</i> Fauvel, 1929	P	Localidad tipo: Golfo de Mannar, India. Redescrita utilizando materiales topotipos y otros no tipos (Qiu & Qian 2000). Registro no incluye caracteres críticos ni ilustraciones que confirmen su presencia.
<i>Namalycastis abiuma</i> (Müller & Grube <i>in</i> Grube, 1872) grupo de especies	C	Localidad tipo: Isla Santa Catarina, Brasil. La especie fue redescrita por Glasby (1999), asignando a los especímenes similares a ésta en el taxón informal <i>N. abiuma</i> grupo de especies, reportando su presencia en Belice. Dicho reporte amerita una segunda revisión para confirmar se trata de la misma especie.
<i>Namanereis amboinensis</i> (Pflugfelder, 1933)	C, G	Localidad tipo: Amboina, Islas Molucas, Indonesia. La especie fue reportada por Glasby (1999) para Belice, Granada y Aruba. La sinonimia de <i>Lycastopsis tecolulensis</i> Rioja, con esta especie propuesta por Glasby expande su distribución al Golfo de México. Se requiere un estudio con material tipo y topotipo para confirmar si se tratan de la misma especie.
<i>Namanereis littoralis</i> (Müller & Grube <i>in</i> Grube, 1872) grupo de especies	C	Localidad tipo: Isla Santa Catarina, Brasil. La especie fue redescrita por Glasby (1999), asignando a los especímenes similares a ésta en el taxón informal <i>N. littoralis</i> grupo de especies, reportando su presencia en las Antillas. Dichos reportes ameritan una segunda revisión para confirmar se trata de la misma especie.

Taxón	Reportes	Comentarios
<i>Namanereis pontica</i> (Bobretzky, 1872)	C	Localidad tipo: Mar Negro. Especie redescrita utilizando materiales topotipos y otros no tipos (Glasby 1999). Registro posiblemente corresponda a otra especie.
<i>Neanthes acuminata</i> (Ehlers, 1868)	B, C, G, P	Localidad tipo: Mar Tirreno, Italia. Requiere una revisión para delimitar su morfología. Descrita apropiadamente, pero caracterizada más tarde utilizando ejemplares lejanos a la localidad tipo. Registros en América tropical, en ocasiones como <i>N. caudata</i> , posiblemente corresponden a especies indescritas; no hay nombres de especies similares para estas regiones.
<i>Neanthes galetae</i> Fauchald, 1977	P	Localidad tipo: Colón, Panamá (Caribe). Especie descrita brevemente pero indicando caracteres diagnósticos importantes para su distinción con otras especies. El registro para El Salvador (Planas <i>et al.</i> 2013) es dudoso y debe ser re-evaluado.
<i>Neanthes unifasciata</i> (Willey, 1905)	P	Localidad tipo: Golfo de Mannar, Sri Lanka. Requiere una revisión para delimitar su morfología. Fue descrita brevemente y con pocas ilustraciones, o bien, caracterizada más tarde utilizando ejemplares lejanos a la localidad tipo. Registros posiblemente correspondan a otras especies.
<i>Nereis anodonta</i> Schmarda, 1861	C	Localidad tipo: Jamaica. Descripción original incompleta y con pocas ilustraciones. Actualmente es considerada indeterminable (Hartman 1959a).
<i>Nereis articulata</i> Ehlers, 1887	G	Localidad tipo: Florida, EUA. Descrita brevemente. Descripción original indica que hay estructuras faríngeas en el anillo oral mientras que el anillo maxilar es liso. A pesar de esta discrepancia, Hartman (1938) lo transfirió a <i>Ceratonereis</i> incluso después de haber revisado el material tipo (en malas condiciones, sin faringe). Hartmann-Schröder (1985) la transfirió al subgénero <i>Compositia</i> . La especie requiere de una redescipción.
<i>Nereis callaona</i> (Grube & Kröyer in Grube, 1858)	C	Localidad tipo: Callao, Perú. Redescrita utilizando materiales topotipos y otros no tipos (Reish 1954). Registros no incluyen caracteres críticos ni ilustraciones que confirmen su presencia en la región.
<i>Nereis caudipunctata</i> Grube y Ørsted in Grube, 1858	C	Localidad tipo: Islas Vírgenes, EUA. Considerada dudosa debido a la falta de información. Descripción incompleta, basada en un ejemplar epítoco; no se ha redescrito desde entonces.
<i>Nereis eakini</i> (Hartman, 1936)	NA	Localidad tipo: Centro de California, EUA. Descrita brevemente. Conocida sólo para la localidad tipo. No existen registros para América tropical.
<i>Nereis eugeniae</i> (Kinberg, 1865)	P	Localidad tipo: Estrecho de Magallanes, Chile. Redescrita utilizando materiales topotipos y otros no tipos (Ehlers 1897). Registros no incluyen caracteres críticos ni ilustraciones que confirmen su presencia en la región.
<i>Nereis falsa</i> (de Quatrefages, 1866)	C, G, P	Localidad tipo: Mar Negro. Presenta una situación taxonómica en espera de ser resuelta, ya que existe más de una especie bajo el mismo nombre (Salazar-Vallejo <i>et al.</i> 2017). Registros para América tropical son dudosos.
<i>Nereis grayi</i> Pettibone, 1956	C, G	Localidad tipo: Massachusetts, EUA. Descrita adecuadamente utilizando ejemplares átocos y epítocos. Registros posiblemente pertenezcan a <i>N. alacranensis</i> o una especie indescrita.
<i>Nereis grubei</i> (Kinberg, 1865)	B	Localidad tipo: Valparaíso, Chile. No ha sido redescrita utilizando el material tipo, pero sí brevemente utilizando topotipos (como <i>N. callaona</i> ,

Taxón	Reportes	Comentarios
		Hartman 1948). Aún es necesaria una revisión para conocer completamente la morfología de la especie y resolver los registros dudosos en B.
<i>Nereis jacksoni</i> Kinberg, 1865	C, P	Localidad tipo: Sídney, Australia. Redescrita utilizando material tipo (Augener 1922) o topotipos (Hartman 1954). Registros en C son cuestionables (Conde-Vela & Salazar-Vallejo 2015), y posiblemente también los sean para P.
<i>Nereis krebsii</i> Grube & Ørsted in Grube, 1858	NA	Localidad tipo: Islas Vírgenes, EUA. Descripción original incompleta y sin ilustraciones. Actualmente es considerada indeterminable (Hartman 1959).
<i>Nereis lamellosa</i> (Ehlers, 1868)	C, G, P	Localidad tipo: Mar Adriático. Descripción original detallada. Redescrita utilizando materiales topotipos (Gravina <i>et al.</i> 2015). Registros en América tropical son cuestionables. Posiblemente la especie sea confundida con <i>N. inflata</i> o jóvenes de <i>A. acutifolia</i> en P, mientras que en C y G quizás sea una especie indescrita.
<i>Nereis marginata</i> Grube & Ørsted in Grube, 1858	NA	Localidad tipo: Islas Vírgenes, EUA. Descripción original incompleta y sin ilustraciones. Actualmente es considerada indeterminable (Hartman 1959a).
<i>Nereis occidentalis</i> (Hartman, 1945)	NA	Localidad tipo: Carolina del Norte, EUA. Complejo de especies resuelto en América tropical (Conde-Vela & Salazar-Vallejo 2015). No está en la región.
<i>Nereis pelagica</i> (Linnaeus, 1758)	B, C, G, P	Localidad tipo: Halland, mar de Categat, Suecia. Requiere una revisión para delimitar su morfología. Fue descrita muy brevemente y sin ilustraciones, o bien, caracterizada más tarde utilizando ejemplares lejanos a la localidad tipo, la cual, ha sido confundida o referida como desconocida. No sorprende, entonces, que haya sido considerada como cosmopolita. Registros en C y G posiblemente correspondan a <i>N. largoensis</i> y aquellos en P a <i>N. rigida</i> , ambas requieren redesccripciones.
<i>Nereis procera</i> (Ehlers, 1868)	P	Localidad tipo: Vancouver, Canadá. Descripción original detallada. Redescrita utilizando materiales tipo y topotipos (Johnson 1901). Registro no incluye caracteres críticos ni ilustraciones que confirmen su presencia.
<i>Nereis puncturata</i> Grube & Ørsted in Grube, 1858	NA	Localidad tipo: Islas Vírgenes, EUA, y Valparaíso, Chile. Descripción original incompleta y sin ilustraciones. Actualmente es considerada indeterminable (Hartman 1959a).
<i>Nereis rigida</i> Grube & Ørsted in Grube, 1858	C	Localidad tipo: Puntarenas, Costa Rica (Pacífico). Fue descrita brevemente y sin ilustraciones, aunque algunos caracteres diagnósticos fueron indicados, aún requiere una revisión para conocer su morfología. Por tanto, los registros para C necesitan ser re-evaluados.
<i>Nereis riisei</i> Grube & Ørsted in Grube, 1858	P	Localidad tipo: St. Croix, Islas Vírgenes, EUA. Fue descrita brevemente y sin ilustraciones, aunque algunos caracteres diagnósticos fueron indicados, aún requiere una revisión para conocer su morfología ya que no ha sido redescrita usando material tipo. Los registros para P necesitan ser re-evaluados.
<i>Nereis zonata</i> (Malmgren, 1867)	B, C, P	Localidad tipo: Svalbard, Groenlandia. Requiere una revisión para delimitar su morfología. Fue descrita muy brevemente y sin ilustraciones, o bien, caracterizada más tarde utilizando ejemplares lejanos a la localidad tipo. Registros en América tropical y B posiblemente correspondan a otras especies.

Taxón	Reportes	Comentarios
<i>Nicon aestuarensis</i> Knox, 1951	NA	Localidad tipo: Nueva Zelanda. Registrada erróneamente por Salazar-Vallejo y Londoño-Mesa (2004) para el P. No hay registros en América tropical.
<i>Perinereis anderssoni</i> Kinberg, 1865	C	Localidad tipo: Río de Janeiro, Brasil. Redescrita utilizando materiales tipo y otros no tipos (de León-González & Solís-Weiss 1998). Registros posiblemente correspondan a otras especies.
<i>Perinereis elenacasoae</i> Rioja, 1947	C, G	Localidad tipo: Sinaloa, México (Golfo de California). Redescrita utilizando materiales tipo y otros no tipos (de León-González & Solís-Weiss 1998). Registros posiblemente correspondan a otras especies.
<i>Perinereis obfuscata</i> (Grube, 1878)	P	Localidad tipo: Filipinas. Redescrita utilizando materiales tipo y otros no tipos (Hutchings <i>et al.</i> 1991). Registros corresponden a <i>P. elenacasoae</i> (de León-González & Solís-Weiss 1998), aunque algunos también podrían correspondan a otras especies.
<i>Perinereis vancaurica</i> (Ehlers, 1868)	C	Localidad tipo: Islas Nicobar, mar de Andamán. Requiere una revisión para delimitar su morfología. Descrita brevemente y sin ilustraciones, o bien, caracterizada más tarde utilizando ejemplares lejanos a la localidad tipo. Registro posiblemente corresponda a otra especie.
<i>Platynereis bicanaliculata</i> (Baird, 1863)	B, P	Localidad tipo: Vancouver, Canadá. Requiere una revisión para delimitar su morfología. Descrita brevemente y sin ilustraciones, o bien, caracterizada más tarde utilizando ejemplares lejanos a la localidad tipo. Registros posiblemente correspondan a otras especies.
<i>Platynereis coccinea</i> (delle Chiaje, 1822)	C	Localidad tipo: Mar Tirreno, Italia. Reportada para el Golfo de Cumaná, Venezuela. Posiblemente se refiera a <i>P. mucronata</i> .
<i>Platynereis dumerilii</i> (Audouin & Milne-Edwards, 1833)	B, C, G, P	Localidad tipo: La Rochelle, Francia. Presenta una taxonomía compleja; requiere una revisión y redescipción para delimitar su morfología. Registros en América tropical posiblemente correspondan a otras especies, ya sea nuevas o en espera de ser restablecidas. Algunos de los registros en C y G corresponden a <i>P. mucronata</i> (de León-González <i>et al.</i> 2001)
<i>Platynereis peruviana</i> (Berkeley & Berkeley, 1964)	P	Localidad tipo: Frente a las costas de Perú. Originalmente descrita como una especie de <i>Nicon</i> . Fue transferida a <i>Platynereis</i> (Pettibone 1971), pero se considera dudoso ya que la faringe está perdida.
<i>Platynereis polyscalma</i> Chamberlin, 1919	B, P	Localidad tipo: Funafuti, islas Ellice (Tuvalu). Registrada por diversos autores en B y P, posiblemente se trate de una o más nuevas especies.